

माध्यम



क्रमांक

7702

विषय कोड

पुस्तिका कोड



2018 (II)
रसायन विज्ञान

प्रश्न पत्र

समय : 3:00 घंटे

पूर्णांक : 200 अंक

अनुदेश

1. आपने हिन्दी को माध्यम चुना है। इस परीक्षा पुस्तिका में एक सौ बीस (20 भाग 'A' में + 40 भाग 'B' में + 80 भाग 'C' में) बहुल विकल्प प्रश्न (MCQ) दिए गए हैं। आपको भाग 'A' में से अधिकतम 15 और भाग 'B' में से 35 प्रश्नों तथा भाग 'C' में से 25 प्रश्नों के उत्तर देने हैं। यदि निर्धारित से अधिक प्रश्नों के उत्तर दिए गए तब केवल पहले उत्तरों (भाग 'A' से 15, भाग 'B' से 35 तथा भाग 'C' से 25) की जांच की जाएगी।
2. ओ.एम.आर. उत्तर पत्रक अलग से दिया गया है। अपना रोल नम्बर और केन्द्र का नाम लिखने से पहले यह जांच लीजिए कि पुस्तिका में पृष्ठ पूरे और सही हैं तथा कहीं से कटे-फटे नहीं हैं। यदि ऐसा है तो आप इन्विजीलेटर से सही कोड की पुस्तिका बदलने का निवेदन कर सकते हैं। इसी तरह से ओ.एम.आर. उत्तर पत्रक की भी जांच लें। इस पुस्तिका में रफ काम करने के लिए अतिरिक्त पन्ने संलग्न हैं।
3. ओ.एम.आर. उत्तर पत्रक के पृष्ठ 1 में दिए गए स्थान पर अपना रोल नम्बर, नाम तथा इस परीक्षा पुस्तिका का क्रमांक लिखिए, साथ ही अपना हस्ताक्षर भी अवश्य करें।
4. आप अपनी ओ.एम.आर. उत्तर पत्रक में रोल नम्बर, विषय कोड, पुस्तिका कोड और केन्द्र कोड से संबंधित समुचित वृत्तों को काले बॉल पेन से अवश्य काला करें। यह एकमात्र परीक्षार्थी की जिम्मेदारी है कि वह ओ.एम.आर. उत्तर पत्रक में दिए गए निर्देशों का पूरी सावधानी से पालन करें, ऐसा न करने पर कम्प्यूटर विवरणों को सही तरीके से अकृति नहीं कर पाएगा, जिससे अंततः आपको हानि, जिसमें आपकी ओ.एम.आर. उत्तर पत्रक की अस्वीकृति भी शामिल है, हो सकती है।
5. भाग 'A' तथा 'B' में प्रत्येक प्रश्न के 2 अंक और भाग 'C' में प्रत्येक प्रश्न 4 अंक का है। भाग 'A' तथा 'B' में प्रत्येक गलत उत्तर का ऋणात्मक मूल्यांक @ 0.50 अंक तथा भाग 'C' में @ 1 अंक किया जाएगा।
6. प्रत्येक प्रश्न के नीचे दो विकल्प दिए गए हैं। इनमें से केवल एक विकल्प ही "सही" अथवा "सर्वोत्तम हल" है। आपको प्रत्येक प्रश्न का सही अथवा सर्वोत्तम हल चुनना है।
7. नकल करते हुए या अनुचित तरीकों का प्रयोग करते हुए पाए जाने वाले परीक्षार्थियों का इस और अन्य भावी परीक्षाओं के लिए अयोग्य ठहराया जा सकता है।
8. परीक्षार्थी को उत्तर या रफ पन्नों के अतिरिक्त कहीं और कुछ भी नहीं लिखना चाहिए।
9. कैलकुलेटर का उपयोग करने की अनुमति नहीं है।
10. परीक्षा समाप्ति पर छिद्र बिन्दु चिह्नित स्थान से OMR उत्तर पत्रक को विभाजित करें। इन्विजीलेटर को मूल OMR उत्तर पत्रक सौंपने के पश्चात आप इसकी कॉपीगैस प्रतिलिपि ले जा सकते हैं।
11. हिन्दी माध्यम/संस्करण के प्रश्न में विसंगति होने/पाये जाने पर अंग्रेजी संस्करण प्रभावी होगा।
12. केवल परीक्षा की पूरी अवधि तक बैठने वाले परीक्षार्थी को ही परीक्षा पुस्तिका साथ ले जाने की अनुमति दी जाएगी।

रोल नंबर

नाम

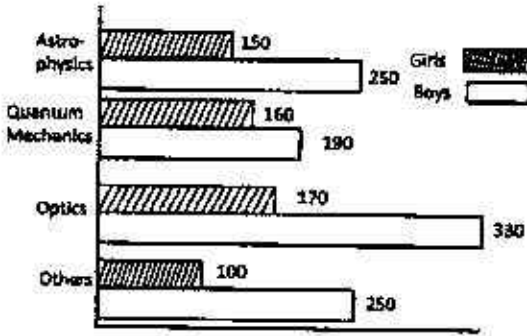
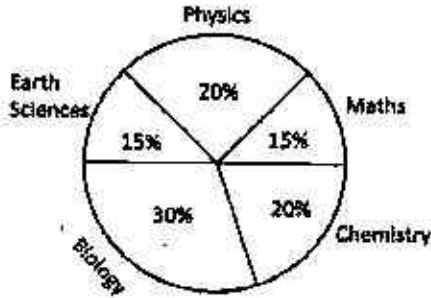
अर्थी द्वारा भरी गई जानकारी को मैं सत्यापित करता हूँ।

इन्विजीलेटर के हस्ताक्षर

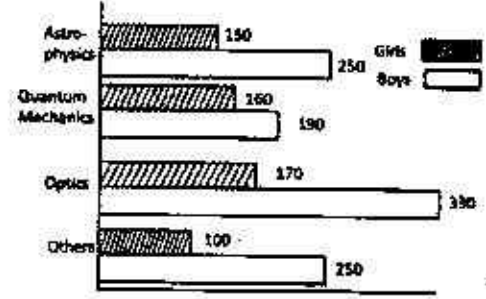
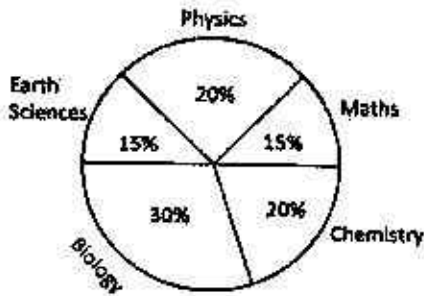
INSTRUCTIONS

1. This Test Booklet contains one hundred and twenty (20 Part 'A'+40 Part 'B' + 60 Part 'C') Multiple Choice Questions (MCQs). You are required to answer a maximum of 15, 35 and 25 questions from part 'A' 'B' and 'C' respectively. If more than required number of questions are answered, only first 15, 35 and 25 questions in Parts 'A' 'B' and 'C' respectively, will be taken up for evaluation.
2. OMR answer sheet has been provided separately. Before you start filling up your particulars, please ensure that the booklet contains requisite number of pages and that these are not torn or mutilated. If it is so, you may request the Invigilator to change the booklet of the same code. Likewise, check the OMR answer sheet also. Sheets for rough work have been appended to the test booklet.
3. Write your Roll No., Name and Serial Number of this Test Booklet on the OMR answer sheet in the space provided. Also put your signatures in the space earmarked.
4. You must darken the appropriate circles with a black ball pen related to Roll Number, Subject Code, Booklet Code and Centre Code on the OMR answer sheet. It is the sole responsibility of the candidate to meticulously follow the instructions given on the Answer Sheet, failing which, the computer shall not be able to decipher the correct details which may ultimately result in loss, including rejection of the OMR answer sheet.
5. Each question in Part 'A' and 'B' carry 2 marks and Part 'C' questions carry 4 marks each, respectively. There will be negative marking @ 0.50 mark for each wrong answer in Part 'A' and 'B' and @ 1 mark for Part 'C'.
6. Below each question in Part 'A', 'B' and 'C' four alternatives or responses are given. Only one of these alternatives is the "correct" option to the question. You have to find, for each question, the correct or the best answer.
7. Candidates found copying or resorting to any unfair means are liable to be disqualified from this and future examinations.
8. Candidate should not write anything anywhere except on answer sheet or sheets for rough work.
9. Use of calculator is NOT permitted.
10. After the test is over, at the perforation point, tear the OMR answer sheet, hand over the original OMR answer sheet to the invigilator and retain the carbonless copy for your record.
11. Candidates who sit for the entire duration of the exam will only be permitted to carry their Test booklet.

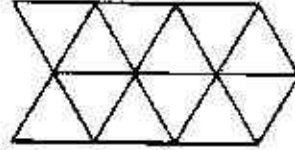
5. विश्वविद्यालय में विज्ञान के सभी विद्यार्थियों का प्रतिशत वितरण पाई-चित्र में दिया गया है। बार-चित्र में भौतिकी के विभिन्न उप-क्षेत्रों का वितरण दर्शाया गया है जहाँ एक विद्यार्थी केवल एक ही उप क्षेत्र ले सकता है। विज्ञान के कुल विद्यार्थियों में क्वांटम-यांत्रिकी पढ़ने वाली लड़कियों का प्रतिशत क्या है?



1. 10
2. 1
3. 0.2
4. 2
5. Percentage-wise distribution of all science students in a university is given in the pie-diagram. The bar chart shows the distribution of physics students in different sub-areas, where a student takes one and only one sub-area. What percentage of the total science students is girls studying quantum mechanics?

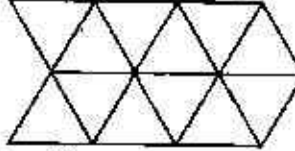


1. 10
2. 1
3. 0.2
4. 2
6. दिये हुए चित्र में समांतर चतुर्भुजों की कुल संख्या क्या है?



1. 27
2. 24
3. 22
4. 14

6. What is the total number of parallelograms in the given diagram?



1. 27
2. 24
3. 22
4. 14

7. तालिका में एक शहर के तीन खण्डों (A, B एवं C) के चुनाव परिणामों को दिया गया है। X, Y तथा Z द्वारा प्राप्त मर्तों का प्रतिशत भी दर्शाया गया है। कौन-सा दल चुनाव जीता?

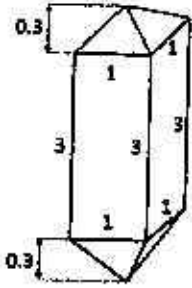
खण्ड	कुल मतदाता	मतदान प्रतिशत	X	Y	Z
A	2,00,000	60	30	30	40
B	2,50,000	70	40	30	30
C	3,00,000	80	30	40	30

1. Y
2. X
3. Z
4. X एवं Y में बराबरी हुई

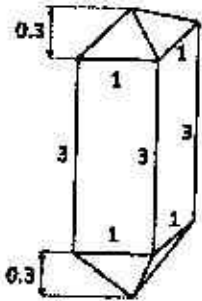
7. Election results of a city, which contains 3 segments (A, B and C) are given in the Table. Percentage votes obtained by parties X, Y and Z are also shown. Which party won the election?

Segment	Total Voters	% of voting	X	Y	Z
A	2,00,000	60	30	30	40
B	2,50,000	70	40	30	30
C	3,00,000	80	30	40	30

1. Y
 2. X
 3. Z
 4. It was a tie between X and Y
8. एक जिरकॉन केलास (क्रिस्टल) की, जिसमें एक वर्गीय प्रिज्म एवं दो समरूपी वर्गीय पिरामिड हैं, की विमायें (cm में) दिखायी गयी हैं। इस केलास (क्रिस्टल) का आयतन (cm^3 में) क्या है?



1. 3.2
 2. 3.6
 3. 6.4
 4. 7.2
8. The diagram shows the dimensions (in cm) of a zircon crystal having a square prism and two identical square pyramids. What is the volume of this crystal (in cm^3)?



1-A-H

1. 3.2
2. 3.6
3. 6.4
4. 7.2

9. एक बालक v गति से एक गंद को उसकी तरफ V गति से आते हुये वाहन की तरफ फेंकता है। वाहन से टकराकर आने पर गंद बालक को जिस गति से प्रहार करेगी, वह है

1. v
2. $v + V$
3. $v + 2V$
4. $v + 4V$

9. A boy throws a ball with a speed v at a vehicle that is approaching him with a speed V . After bouncing from the vehicle, the ball hits the boy with a speed

1. v
2. $v + V$
3. $v + 2V$
4. $v + 4V$

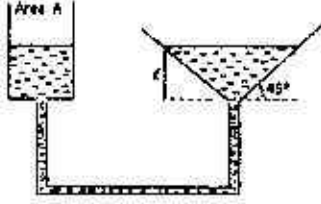
10. चार मित्र एक पीजा आपस में बांट रहे थे। उन्होंने निर्णय किया कि उम्र में सबसे बड़े मित्र को पीजा का एक अतिरिक्त टुकड़ा मिलेगा। बाहु, कट्टप्पा से दो महीने बड़ा है जो कि भल्ला से तीन महीने छोटा है। देवसेना, कट्टप्पा से एक महीने बड़ी है। पीजा का एक अधिक टुकड़ा किसको मिला?

1. बाहु
2. देवसेना
3. भल्ला
4. कट्टप्पा

10. Four friends were sharing a pizza. They decided that the oldest friend will get an extra piece of pizza. Bahu is two months older than Kattappa, who in turn is three months younger than Bhalla. Devsena is one month older than Kattappa. Who should get the extra piece of pizza?

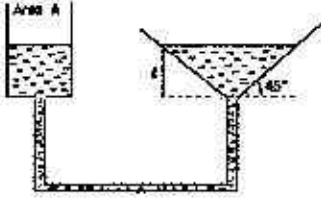
1. Bahu
2. Devsena
3. Bhalla
4. Kattappa

11. अनुप्रस्थ काट A के बेलनाकार पात्र से एक कीप को जोड़कर आपस में जुड़े पात्रों के तंत्र को दर्शाया गया है। चित्रानुसार, बेलन में इस तरह जल डाला जाता है कि कीप में ऊँचाई तक जल भर जाता है। यदि बेलनाकार पात्र में जल को नीचे x दूरी ($x \ll l$) तक दबाया जाता है। तब कीप में पानी का तल



1. बिल्कुल नहीं बदलता है
2. $\frac{Ax}{\pi l^2}$ से ऊपर उठता है
3. $\frac{\pi l^2}{Ax}$ से ऊपर उठता है
4. $\frac{A^2 x}{\pi^2 l^4}$ से ऊपर उठता है

11. A funnel is connected to a cylindrical vessel of cross sectional area A as shown, to make an interconnected system of vessels. Water is poured in the cylinder such that the height of water in the funnel is l as shown. If the level of water in the cylindrical vessel is pushed down by a distance $x \ll l$, the level of water in the funnel:



1. remains unchanged
 2. rises by $\frac{Ax}{\pi l^2}$
 3. rises by $\frac{\pi l^2}{Ax}$
 4. rises by $\frac{A^2 x}{\pi^2 l^4}$
12. सात छात्रों के अंक (30 अंक में से) एक परीक्षा में 4, 15, 6, 7, 5, a तथा b हैं। यहां पर $a (>0)$ 4 का गुणज है, तथा b एक अभाज्य अंक है। इस समूह में अधिकतम तथा न्यूनतम प्राप्तियों का अन्तर में सर्वाधिक संभव अंक क्या है?
1. 25
 2. 26
 3. 27
 4. 29
12. Marks (out of 30) of seven students in an examination are 4, 15, 6, 7, 5, a and b , where $a (>0)$ is a multiple of 4 and b is a prime. What is the maximum possible

value of the difference between the maximum and minimum marks?

1. 25
2. 26
3. 27
4. 29

13. दो व्यक्ति A और B एक बिन्दु से विपरीत दिशाओं में चलना प्रारंभ करते हैं। A की गति B से दुगुनी है। B की गति 1 km/h है। यदि 2 km चलने के पश्चात् A वापस मुड़कर B की तरफ चलना प्रारंभ करता है, तो A प्रारंभिक बिन्दु से कितनी दूरी पर B से आगे निकलता है?

1. 2 km
2. 4 km
3. 6 km
4. 8 km

13. Two persons A and B start walking in opposite directions from a point. A travels twice as fast as B. The speed at which B travels is 1 km/h. If A travels 2 km and turns back and starts walking towards B, at what distance from the starting point will A cross B?

1. 2 km
2. 4 km
3. 6 km
4. 8 km

14. एक व्यक्ति कार से चारबाग से आलम्बाग तक 60 km/h की औसत गति से चलना चाहता है। चारबाग से आलम्बाग की दूरी 2 km है। अत्यधिक भीड़ की वजह से वह पहले एक किलोमीटर में केवल 30 km/h की औसत गति से चल सका। बची हुई यात्रा में वह किस गति से चले कि 60 km/h की औसत गति के लक्ष्य को पा सके?

1. किसी भी व्यावहारिक गति से लक्ष्य को प्राप्त नहीं कर सकता
2. 60 km/h
3. 90 km/h
4. 120 km/h

14. A person wanted to travel from Charbag to Alambag with an average speed of 60 km/h by car. The distance between Charbag and Alambag is 2 km. Due to heavy traffic, he could travel at 30 km/h for the first kilometre of his journey. What should his speed be for the remaining journey to achieve his average speed target of 60 km/h?

1. Cannot achieve his target with any finite speed.
 2. 60 km/h
 3. 90 km/h
 4. 120 km/h
15. एक स्थान पर वर्ष 2003 से 2005 की 3 वर्ष की अवधि के लिए औसत वर्षा 65 cm थी। वर्ष 2002 से 2004 के तीन वर्षों में औसत वर्षा 63 cm थी। वर्ष 2005 की वास्तविक वर्षा 60 cm थी। वर्ष 2002 में कितनी वर्षा हुई?
 1. 55 cm
 2. 60 cm
 3. 54 cm
 4. 53 cm
15. The average rainfall over a given place during the three-year period of 2003-2005 was 65 cm. During the three-year period 2002-2004 the average rainfall was 63 cm. The actual rainfall during 2005 was 60 cm. What was the rainfall in 2002?
 1. 55 cm
 2. 60 cm
 3. 54 cm
 4. 53 cm

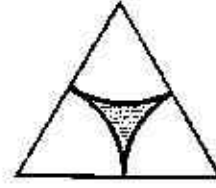
16. लगातार चार दिनों में चार विमान घातकों में से प्रत्येक ने अलग-अलग दिन विमान उड़ाया। श्री A को कार्य सूची के अनुसार सोमवार को विमान उड़ाना था परंतु श्री A ने सुश्री B के साथ अदला-बदली कर ली जबकि सुश्री B को मूलतः बुधवार को विमान उड़ाना था। सुश्री C ने श्री D से अदला-बदली कर ली जिन्हें मूलतः गुरुवार को विमान उड़ाना था। पूर्णतया अदला-बदली करने के पश्चात् मंगलवार को किसने कार्य किया?
 1. श्री A
 2. श्री D
 3. सुश्री B
 4. सुश्री C

16. In a four consecutive day schedule, four pilots flew flights each on a different day. Mr. A was scheduled to work on Monday, but he traded with Ms. B who was originally scheduled to work on Wednesday. Ms. C traded with Mr. D, who was originally scheduled to work on Thursday. After all the switching was done, who worked on Tuesday?
 1. Mr. A
 2. Mr. D
 3. Ms. B
 4. Ms. C

17. छः ग्राम (6 ग्राम) कार्बन 40 ग्राम ऑक्सीजन के वायुमंडल में पूर्णतः जलाया गया। कितने प्रतिशत ऑक्सीजन शेष रही?
 1. 80
 2. 60
 3. 40
 4. 20

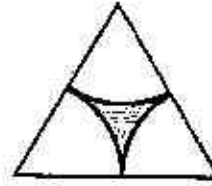
17. After 6 g of carbon is completely burnt in an atmosphere of 40 g of oxygen, the percentage oxygen left is:
 1. 80
 2. 60
 3. 40
 4. 20

18. किसी समबाहु त्रिभुज में वृत्त के तीन समरूपीय भागों से बनने वाले क्षेत्र को छोड़कर शेष को छायांकित कर चित्र में दर्शाया गया है। छायांकित भाग समबाहु त्रिभुज के कुल क्षेत्रफल का कितना अंश है?



1. $1 - \frac{\pi}{2\sqrt{3}}$
 2. $\frac{\pi}{2\sqrt{3}}$
 3. $1 - \frac{2\pi}{\sqrt{3}}$
 4. $1 - \frac{\sqrt{3}\pi}{2}$

18. What fraction of the equilateral triangle shown below with three identical sectors of a circle is shaded?



1. $1 - \frac{\pi}{2\sqrt{3}}$
 2. $\frac{\pi}{2\sqrt{3}}$
 3. $1 - \frac{2\pi}{\sqrt{3}}$
 4. $1 - \frac{\sqrt{3}\pi}{2}$

19. गोभी, टमाटर, प्याज, आलु तथा गाजर से अलग-अलग प्रकार की कितनी सब्जियां बनायी जा सकती हैं?
 1. 16
 2. 28
 3. 31
 4. 32

19. How many different vegetables can be made from cauliflower, tomatoes, onions, potatoes and carrots?

1. 16
2. 28
3. 31
4. 32

20. एक इत्र की बोतल खोलने पर 10 मी. की दूरी पर खड़े व्यक्ति को 10 सेकेंड बाद खुशबू आती है। 20 मीटर की दूरी पर खड़े व्यक्ति को लगभग कितने समय बाद खुशबू पहुंचेगी?

1. 20s
2. 40s
3. 14s
4. 80s

20. A bottle of perfume is opened and a person at a distance of 10 m gets the smell after 10 seconds. The time taken for a person 20 m away to get the smell is about

1. 20s
2. 40s
3. 14s
4. 80s

भाग/PART - B

21. फास्फोरस लिगण्डों की ग्राही क्षमताका सही क्रम है

1. $\text{PMe}_3 > \text{PPh}_3 > \text{P(OPh)}_3 > \text{PF}_3$
2. $\text{PF}_3 > \text{P(OPh)}_3 > \text{PPh}_3 > \text{PMe}_3$
3. $\text{PF}_3 > \text{PMe}_3 > \text{PPh}_3 > \text{P(OPh)}_3$
4. $\text{P(OPh)}_3 > \text{PF}_3 > \text{PMe}_3 > \text{PPh}_3$

21. The correct order of acceptor ability of the phosphorus ligands is

1. $\text{PMe}_3 > \text{PPh}_3 > \text{P(OPh)}_3 > \text{PF}_3$
2. $\text{PF}_3 > \text{P(OPh)}_3 > \text{PPh}_3 > \text{PMe}_3$
3. $\text{PF}_3 > \text{PMe}_3 > \text{PPh}_3 > \text{P(OPh)}_3$
4. $\text{P(OPh)}_3 > \text{PF}_3 > \text{PMe}_3 > \text{PPh}_3$

22. प्रतिचुम्बकीय संकुल $\text{mer-[M(PR}_3)_3\text{Cl}_3]$ (M = संक्रमण धातु, $l = 0$) के $^3\text{P}\{^1\text{H}\}$ NMR स्पेक्ट्रम में अनुनाद/अनुनादों की प्रत्याशित संख्या है

1. तीन
2. एक
3. दो
4. छः

22. In the $^3\text{P}\{^1\text{H}\}$ NMR spectrum of a diamagnetic complex $\text{mer-[M(PR}_3)_3\text{Cl}_3]$ (M = transition metal, $l = 0$) expected number of resonance(s) is

1. Three
2. One
3. Two
4. Six

23. स्पीशीज़ NO , I_2 , I_2^- , Cu^{2+} , तथा VO^{2+} पर विचार कीजिए। इनमें से अनुचुम्बकीय स्पीशीज़ की संख्या तथा EPR निष्क्रिय स्पीशीज़ हैं, क्रमशः

1. 4 तथा I_2^-
2. 4 तथा I_2
3. 3 तथा VO^{2+} , Cu^{2+}
4. 3 तथा NO , Cu^{2+}

23. Consider the species NO , I_2 , I_2^- , Cu^{2+} , and VO^{2+} . The number of paramagnetic species among them and the EPR inactive species, respectively, are

1. 4 and I_2^-
2. 4 and I_2
3. 3 and VO^{2+} , Cu^{2+}
4. 3 and NO , Cu^{2+}

24. $\text{H}_3\text{B}\cdot\text{CO}$ के लिए सही कथन/कथनों को पहिचानिए

- (a) CO के एकक इलेक्ट्रॉन युग्म को, B का sp^2 संकरित कक्षक ग्रहण करता है
- (b) इसके ν_{CO} का मान मुक्त CO के ν_{CO} के मान की अपेक्षा अधिक है
- (c) यौगिक में कार्बन की औपचारिक ऑक्सीकरण अवस्था +4 है,

उत्तर है

1. (a) तथा (b)
2. केवल (b)
3. केवल (a)
4. (a) तथा (c)

24. Identify the correct statement(s) for $\text{H}_3\text{B}\cdot\text{CO}$.

- (a) sp^2 hybridized orbital of B accepts the lone pair of CO.
- (b) Its ν_{CO} value is more than that for free CO.
- (c) Formal oxidation state of C is +4 in the compound.

Answer is

1. (a) and (b)
2. (b) only
3. (a) only
4. (a) and (c)

25 कॉलम I की मदों का मिलान कॉलम II की मदों से कीजिए

कॉलम I		कॉलम II	
a.	तेज़र स्त्रोत	i	इलेक्ट्रॉन परिग्रहण संसूचक
b.	तापीय अनुमापन	ii	पोलेरोग्राफी
c.	जिलेटिन	iii	अभिक्रिया की ऊष्मा
d.	गैस-द्रव-क्रोमेटोग्राफी	iv	स्पेक्ट्रोफ्लुओरोमिति

सही उत्तर है

1. a-iv; b-iii; c-ii; d-i
2. a-i; b-iii; c-ii; d-iv
3. a-iv; b-ii; c-iii; d-i
4. a-iii; b-ii; c-iv; d-i

25 Match the items of Column I with those of Column II.

Column I		Column II	
a.	Laser source	i	Electron Capture Detector
b.	Thermometric titration	ii	Polarography
c.	Gelatin	iii	Heat of reaction
d.	Gas-liquid chromatography	iv	Spectrofluorimetry

Correct answer is

1. a-iv; b-iii; c-ii; d-i
2. a-i; b-iii; c-ii; d-iv
3. a-iv; b-ii; c-iii; d-i
4. a-iii; b-ii; c-iv; d-i

26. यौगिकों PF_5 , SbF_5 , PH_3 तथा SbH_3 पर विचार कीजिए। इनमें से प्रबलतम अम्ल तथा प्रबलतम क्षार हैं, क्रमशः

1. PF_5 तथा PH_3
2. SbF_5 तथा PH_3
3. SbF_5 तथा SbH_3
4. PF_5 तथा SbH_3

26. Consider compounds PF_5 , SbF_5 , PH_3 and SbH_3 . The strongest acid and the strongest base among these are, respectively,

1. PF_5 and PH_3
2. SbF_5 and PH_3
3. SbF_5 and SbH_3
4. PF_5 and SbH_3

27. $SiCl_4$, $P(O)Cl_3$, NF_3 तथा $trans-[SnCl_4(py)_2]$ ($py =$ पिरिडीन). में से जिनका द्विध्रुव आघूर्ण शून्य है, वह हैं

1. $SiCl_4$ तथा NF_3
2. $SiCl_4$, $P(O)Cl_3$ तथा $trans-SnCl_4(py)_2$
3. $SiCl_4$ तथा $trans-SnCl_4(py)_2$
4. NF_3 तथा $trans-SnCl_4(py)_2$

27. Among $SiCl_4$, $P(O)Cl_3$, NF_3 , $trans-[SnCl_4(py)_2]$ ($py =$ pyridine), those with zero dipole moment are

1. $SiCl_4$ and NF_3
2. $SiCl_4$, $P(O)Cl_3$ and $trans-SnCl_4(py)_2$
3. $SiCl_4$ and $trans-SnCl_4(py)_2$
4. NF_3 and $trans-SnCl_4(py)_2$

28. अम्लीय माध्यम में F_2 , Cl_2 , Na तथा Zn के मानक अपचयन विभवों का क्रम है

1. $F_2 > Cl_2 > Na > Zn$
2. $F_2 > Cl_2 > Zn > Na$
3. $Na > Zn > Cl_2 > F_2$
4. $Cl_2 > F_2 > Zn > Na$

28. The standard reduction potentials in acid medium for F_2 , Cl_2 , Na and Zn are in the order

1. $F_2 > Cl_2 > Na > Zn$
2. $F_2 > Cl_2 > Zn > Na$
3. $Na > Zn > Cl_2 > F_2$
4. $Cl_2 > F_2 > Zn > Na$

29. CN^- तथा O_2 के LUMO के लक्षण हैं, क्रमशः

1. σ_g तथा π_u
2. π_u तथा σ_u
3. π_g तथा σ_u
4. σ_u तथा π_g

29. The characters of LUMO of CN^- and O_2 respectively, are

1. σ_g and π_u
2. π_u and σ_u
3. π_g and σ_u
4. σ_u and π_g

30. जलीय माध्यम में $[\text{Co}(\text{NCS})(\text{NH}_3)_5]^{2+}$ तथा $[\text{Fe}(\text{H}_2\text{O})_6]^{2+}$ के मध्य अभिक्रिया, जो $[\text{Co}(\text{H}_2\text{O})_6]^{2+}$ तथा $[\text{Fe}(\text{H}_2\text{O})_6]^{3+}$ उत्पन्न करती है, में मध्यवर्ती $[\text{Fe}(\text{SCN})(\text{H}_2\text{O})_5]^{2+}$ की पहचान हुई है।

अभिक्रिया की क्रियाविधि है

1. वियोजनी विनिमय
2. साहचर्य विनिमय
3. आन्तरिक क्षेत्र इलेक्ट्रॉन स्थानान्तरण
4. बाह्य क्षेत्र इलेक्ट्रॉन स्थानान्तरण

30. The intermediate $[\text{Fe}(\text{SCN})(\text{H}_2\text{O})_5]^{2+}$ is detected in the reaction of $[\text{Co}(\text{NCS})(\text{NH}_3)_5]^{2+}$ with $[\text{Fe}(\text{H}_2\text{O})_6]^{2+}$ in aqueous medium to produce $[\text{Co}(\text{H}_2\text{O})_6]^{2+}$ and $[\text{Fe}(\text{H}_2\text{O})_6]^{3+}$.

The mechanism of the reaction is

1. Interchange dissociative
2. Interchange associative
3. Inner sphere electron transfer
4. Outer sphere electron transfer

31. विटामिन B_{12} में बृहत चक्रीय लिगण्ड द्वारा निर्मित कीलेट वलय हैं

1. एक पांच सदस्यीय तथा तीन छः सदस्यीय
2. दो पांच सदस्यीय तथा दो छः सदस्यीय
3. तीन पांच सदस्यीय तथा एक छः सदस्यीय
4. चार छः सदस्यीय

31. The chelate rings made by macrocyclic ligand in vitamin B_{12} are

1. one five-membered and three six-membered
2. two five-membered and two six-membered
3. three five-membered and one six-membered
4. four six-membered

32. EDTA^{4-} के मैग्नीशियम संकुल में N-दाता तथा O-दाता केन्द्रों की संख्या है, क्रमशः

1. दो तथा चार
2. दो तथा दो
3. दो तथा छः
4. दो तथा आठ

32. For magnesium complex of EDTA^{4-} , the number of N-donor and O-donor centers, are respectively,

1. two and four
2. two and two
3. two and six
4. two and eight

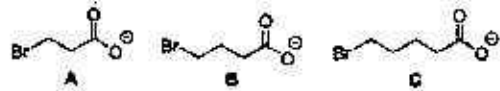
33. अष्टफलकीय समन्वय ज्यामिति में धातु आयनों के प्रबल यान-टेटर विरूपण के लिए इलेक्ट्रॉनिक विन्यासों का सही सेट है।

1. $t_{2g}^6 e_g^1, t_{2g}^3 e_g^1, t_{2g}^6 e_g^3$
2. $t_{2g}^1, t_{2g}^3 e_g^2, t_{2g}^6 e_g^1$
3. $t_{2g}^3, t_{2g}^3 e_g^1, t_{2g}^3 e_g^2$
4. $t_{2g}^3 e_g^2, t_{2g}^6 e_g^2, t_{2g}^6 e_g^3$

33. The correct set of electronic configurations for metal ions in octahedral coordination geometry for strong Jahn-Teller distortion is

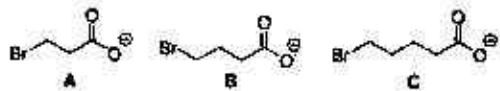
1. $t_{2g}^6 e_g^1, t_{2g}^3 e_g^1, t_{2g}^6 e_g^3$
2. $t_{2g}^1, t_{2g}^3 e_g^2, t_{2g}^6 e_g^1$
3. $t_{2g}^3, t_{2g}^3 e_g^1, t_{2g}^3 e_g^2$
4. $t_{2g}^3 e_g^2, t_{2g}^6 e_g^2, t_{2g}^6 e_g^3$

34. निम्नलिखित ब्रोमोकार्बोक्सिलेटों से संगत लेक्टोनों को उत्पन्न करने के लिए चक्रीकरण की सापेक्ष दरों का क्रम है



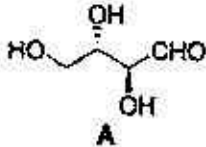
1. $\text{B} > \text{A} > \text{C}$
2. $\text{A} > \text{C} > \text{B}$
3. $\text{B} > \text{C} > \text{A}$
4. $\text{C} > \text{B} > \text{A}$

34. The order of relative rate of cyclization of following bromocarboxylates to generate corresponding lactones is



1. $\text{B} > \text{A} > \text{C}$
2. $\text{A} > \text{C} > \text{B}$
3. $\text{B} > \text{C} > \text{A}$
4. $\text{C} > \text{B} > \text{A}$

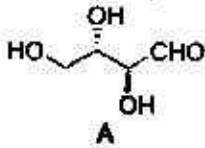
35. A का $\text{HNO}_3/\text{H}_2\text{O}$ से ऑक्सीकरण



जो उत्पाद देता है, वह है/हैं

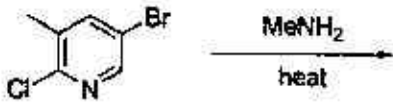
1. रेसिमिक मिश्रण होने के कारण ध्रुवण अपूर्णक
2. *meso* होने के कारण ध्रुवण अपूर्णक
3. एकल अप्रतिबिंबी त्रिविम समावयव होने के कारण ध्रुवण पूर्णक
4. एकल ऐनेन्टिओमर होने के कारण ध्रुवण पूर्णक

35. Oxidation of A with $\text{HNO}_3/\text{H}_2\text{O}$ provides the product(s), which is (are)



1. optically inactive as it is racemic mixture
2. optically inactive as it is *meso*
3. optically active as it is a single diastereomer
4. optically active as it is a single enantiomer

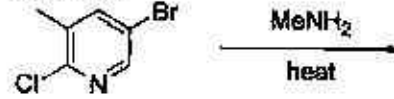
36. निम्नलिखित अभिक्रिया में विरचित मुख्य उत्पाद है



1.	
2.	

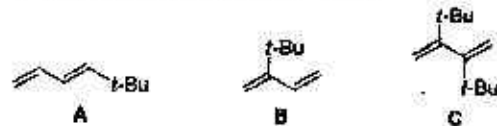
3.	
4.	

36. The major product formed in the following reaction is



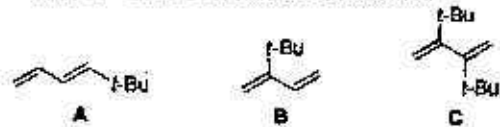
1.	
2.	
3.	
4.	

37. निम्नलिखित डाइईनों का डील्स-ऐल्डर अभिक्रिया के लिए, अभिक्रियाशीलता का क्रम है



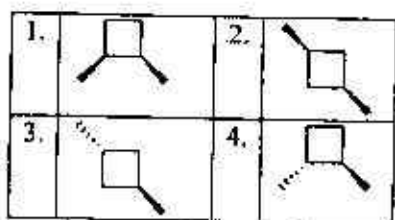
1. $\text{B} > \text{A} > \text{C}$
2. $\text{A} > \text{C} > \text{B}$
3. $\text{B} > \text{C} > \text{A}$
4. $\text{C} > \text{B} > \text{A}$

37. The order of reactivity of the following dienes towards Diels-Alder reaction is

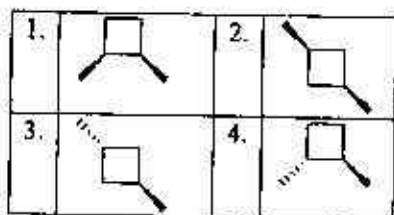


1. $\text{B} > \text{A} > \text{C}$
2. $\text{A} > \text{C} > \text{B}$
3. $\text{B} > \text{C} > \text{A}$
4. $\text{C} > \text{B} > \text{A}$

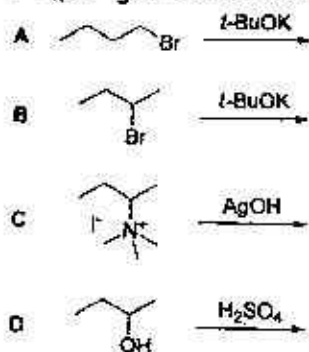
38. निम्नलिखित में से ध्रुवण घूर्णक यौगिक है



38. Among the following, the optically active compound is

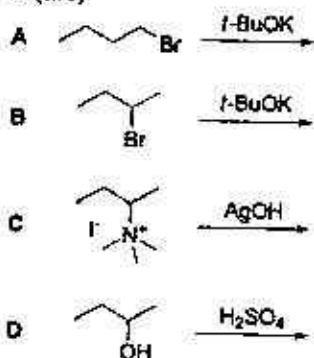


39. निम्नलिखित में से अभिक्रिया/अभिक्रियाएँ जो 1-ब्यूटीन मुख्य उत्पाद उत्पन्न करती है/हैं



1. A केवल 2. A तथा B
3. A तथा C 4. C तथा D

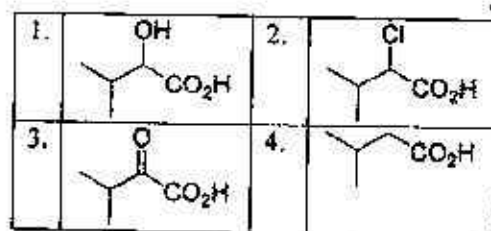
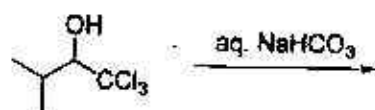
39. Among the following, reaction(s) which provide(s) 1-butene as the major product is (are)



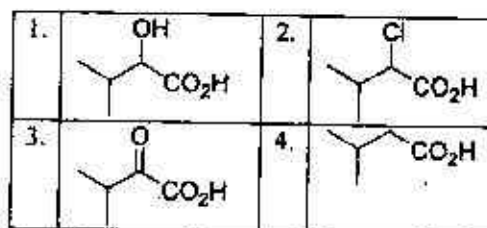
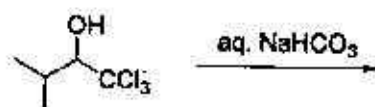
1-A-H

1. A alone 2. A and B
3. A and C 4. C and D

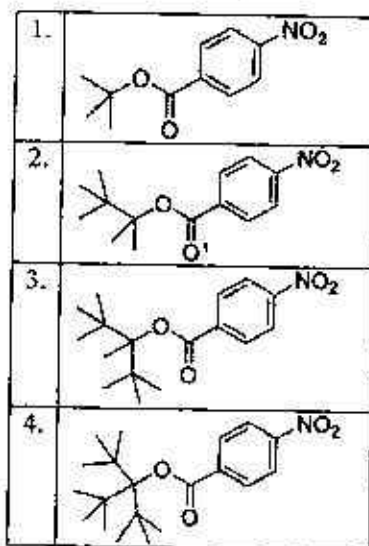
40. निम्नलिखित क्रिया में विरचित मुख्य उत्पाद है



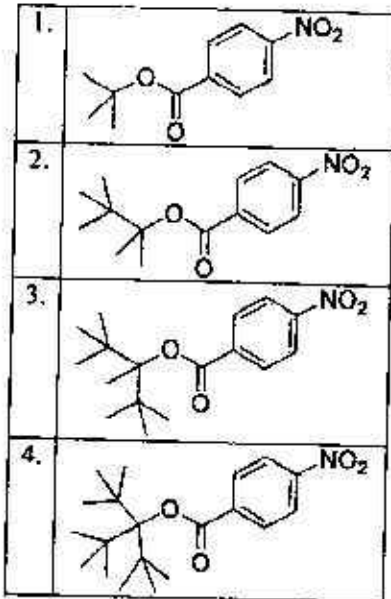
40. The major product formed in the following reaction is



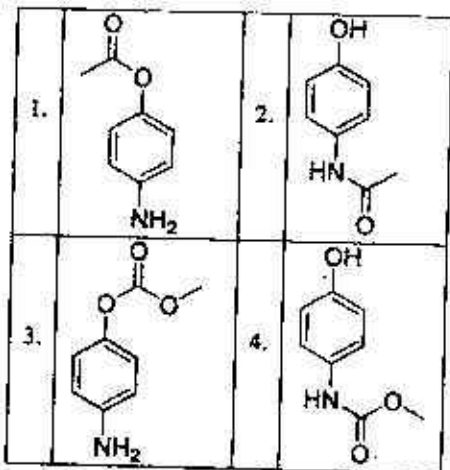
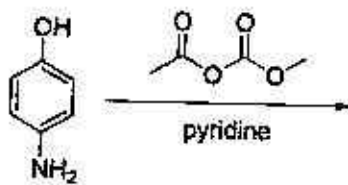
41. निम्नलिखित में से यौगिक जिसके लिए S_N1 क्रियाविधि द्वारा उच्चतम दर से नाभिक स्नेही प्रतिस्थापन होगा, वह है



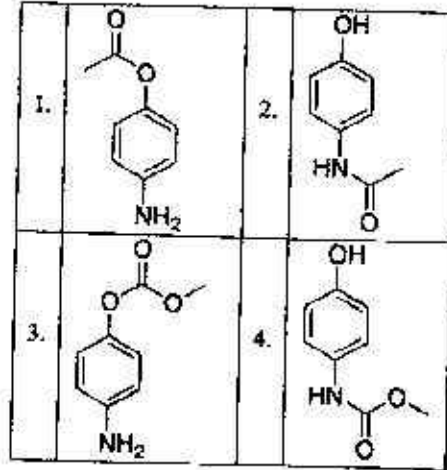
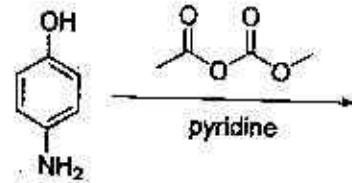
41. Among the following, the compound that will have highest rate for nucleophilic substitution through S_N1 mechanism is



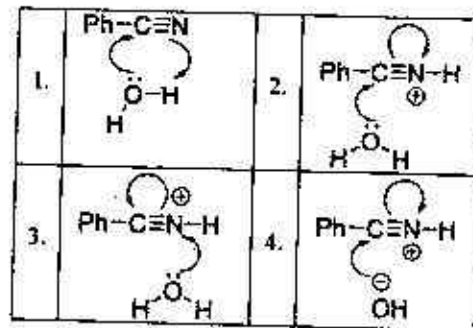
42. निम्नलिखित अभिक्रिया में विरचित मुख्य उत्पाद है।



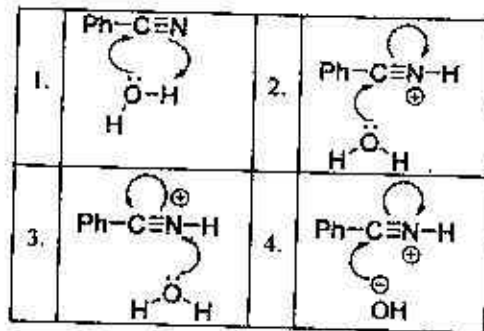
42. The major product formed in the following reaction is



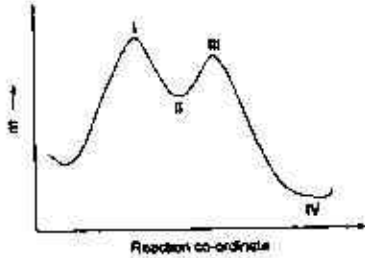
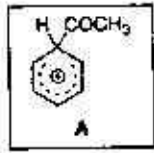
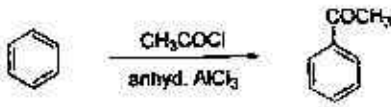
43. अम्ल उत्प्रेरित बेन्ज़ोनाइट्राइल के जलअपघटन की क्रियाविधि में जो सम्मिलित है, वह है



43. The mechanism of acid catalyzed hydrolysis of benzonitrile involves

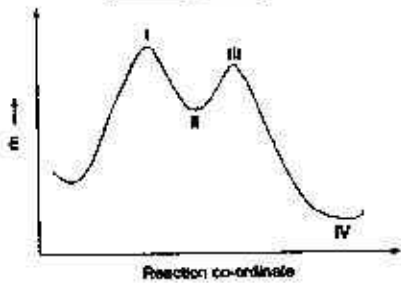
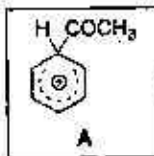
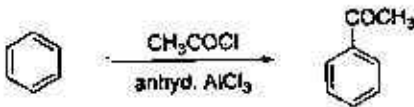


44. नीचे दी गयी अभिक्रिया की ऊर्जा परिच्छेदिका में स्पीशीज A किस स्थान के संगत होगी



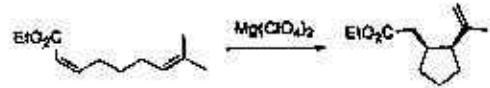
1. I
2. II
3. III
4. IV

44. In the energy profile diagram of the reaction given below, the species A would correspond to the position



1. I
2. II
3. III
4. IV

45. निम्नलिखित अभिक्रिया जिसका उदाहरण है, वह है



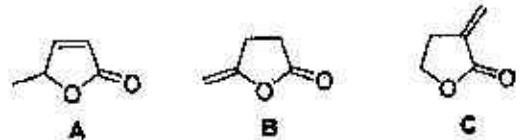
1. ऐल्डर-ईन अभिक्रिया
2. माइकेल संघनन
3. सिग्माट्रोपिक पुनर्विन्यास
4. वाग्नर मेरवाइन पुनर्विन्यास

45. Following reaction is an example of



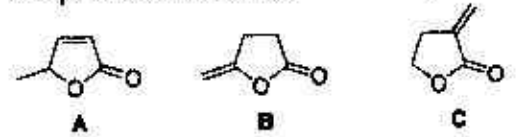
1. Alder-Ene Reaction
2. Michael Addition
3. Sigmatropic Rearrangement
4. Wagner-Meerwein Rearrangement

46. निम्नलिखित यौगिकों के IR स्पेक्ट्रमों में कार्बोनिल ग्रुप की प्रजान आवृत्ति (cm^{-1}) जिस क्रम में है, वह है



1. $B > A > C$
2. $A > C > B$
3. $B > C > A$
4. $C > B > A$

46. In IR spectra, the stretching frequency (in cm^{-1}) of the carbonyl group of the following compounds is in the order



1. $B > A > C$
2. $A > C > B$
3. $B > C > A$
4. $C > B > A$

47. एक गतिमान इलेक्ट्रॉन के स्थान में अनिश्चितता 100 pm है। इसकी स्पीड में अनिश्चितता जिसके निकटम है, वह है ($m_e = 9.11 \times 10^{-31} \text{ kg}$; $h = 6.63 \times 10^{-34} \text{ J.s}$)

1. $6.0 \times 10^2 \text{ m.s}^{-1}$
2. $6.0 \times 10^5 \text{ m.s}^{-1}$
3. $6.0 \times 10^8 \text{ m.s}^{-1}$
4. $6.0 \times 10^{11} \text{ m.s}^{-1}$

47. The uncertainty in the position of a moving electron is 100 pm. The uncertainty in its speed is closest to ($m_e = 9.11 \times 10^{-31}$ kg; $h = 6.63 \times 10^{-34}$ J.s)
1. 6.0×10^2 m.s⁻¹
 2. 6.0×10^3 m.s⁻¹
 3. 6.0×10^4 m.s⁻¹
 4. 6.0×10^{11} m.s⁻¹
48. सोडियम परमाणु के स्पेक्ट्रम में एक अति समीप से पृथक द्विक 16956.2 तथा 16973.4 cm⁻¹ पर है। उच्चतर ऊर्जा संक्रमण जिसके कारण है, वह है
1. $^2P_{3/2} \rightarrow ^2S_{1/2}$
 2. $^2P_{1/2} \rightarrow ^2S_{1/2}$
 3. $^2P_{3/2} \rightarrow ^2P_{1/2}$
 4. $^2S_{1/2} \rightarrow ^2P_{3/2}$
49. The spectrum of sodium atom has a closely separated doublet at 16956.2 and 16973.4 cm⁻¹. The higher energy transition is due to
1. $^2P_{3/2} \rightarrow ^2S_{1/2}$
 2. $^2P_{1/2} \rightarrow ^2S_{1/2}$
 3. $^2P_{3/2} \rightarrow ^2P_{1/2}$
 4. $^2S_{1/2} \rightarrow ^2P_{3/2}$
49. N₂O अणु जिस बिन्दु समूह का सदस्य है, वह है
1. D_{∞h}
 2. C_{∞v}
 3. C_{2v}
 4. S₂
49. N₂O molecule belongs to the point group
1. D_{∞h}
 2. C_{∞v}
 3. C_{2v}
 4. S₂
50. बन्द निकाय के लिए अ-PV कार्य की अनुपस्थिति में सही कथन है।
1. $dU = TdS - PdV$
 2. $dG = VdP + SdT$
 3. $dU = TdS + PdV$
 4. $dU = VdP - SdT$
50. For a closed system in the absence of non-PV work, the correct statement is:
1. $dU = TdS - PdV$
 2. $dG = VdP + SdT$
 3. $dU = TdS + PdV$
 4. $dU = VdP - SdT$
51. एक निश्चित प्रावस्था संक्रमण में संक्रमण बिन्दु पर आयतन का परिवर्तन 2.0 mL mol⁻¹ है, इससे हम यह निष्कर्ष निकाल सकते हैं कि यह संक्रमण संभवतया:
1. प्रथम कोटि प्रावस्था संक्रमण है
 2. द्वितीय कोटि प्रावस्था संक्रमण है
 3. तृतीय कोटि प्रावस्था संक्रमण है
 4. λ प्रावस्था संक्रमण है
51. The volume change in a certain phase transition is 2.0 mL mol⁻¹ at the transition point. From this, we may conclude that the transition is most likely a
1. first order phase transition
 2. second order phase transition
 3. third order phase transition
 4. λ phase transition
52. आदर्श गैस के अणुओं की वर्ग माध्य मूल गति जिसके समानुपाती है, वह है
1. $1/T^{3/2}$
 2. T
 3. $T^{1/2}$
 4. 1/T
52. Root mean square speed of the molecules of a perfect gas is proportional to
1. $1/T^{3/2}$
 2. T
 3. $T^{1/2}$
 4. 1/T
53. एक द्वितीय कोटि की अभिक्रिया के लिए निम्नलिखित आरेखों में से जो सीधी रेखा है, वह है :
1. [X] बनाम समय
 2. 1/[X] बनाम समय
 3. log[X] बनाम 1/समय
 4. log[X] बनाम समय
53. For a second-order reaction, the straight line among the following plots is:
1. [X] versus time
 2. 1/[X] versus time
 3. log[X] versus 1/time
 4. log[X] versus time

54. 300 K पर एक एन्जाइम की उपस्थिति में एक अभिक्रिया की सक्रियण ऊर्जा 12 kcal mol^{-1} घट जाती है। छदम प्रथम कोटि की गतिकी मान कर उस घटक का परिकलन कीजिए जिससे अभिक्रिया दर बढ़ जाती है। [दिया है : $R = 2 \text{ cal K}^{-1} \text{ mol}^{-1}$ यह होगा]
1. 2×10^{-9}
 2. 1.02
 3. 8.7×10^6
 4. 5×10^8
54. The activation energy of a reaction reduces by 12 kcal mol^{-1} in the presence of an enzyme at 300 K. Assuming pseudo-first order kinetics, calculate the factor by which the reaction rate is increased. [Given: $R = 2 \text{ cal K}^{-1} \text{ mol}^{-1}$]
1. 2×10^{-9}
 2. 1.02
 3. 8.7×10^6
 4. 5×10^8
55. निम्नलिखित में से सही कथन है:
1. लवण सेतु की आवश्यकता दो अर्ध सेलों के विलयनों के मिश्रण हेतु होती है।
 2. लवण सेतु दो अर्ध सेलों के मध्य विद्युत धारा प्रवाह को बिना विलयनों के मिश्रित हुए अनुमत करता है।
 3. लवण सेतु अभिक्रिया की दर बढ़ा देता है।
 4. लवण सेतु में अ-विद्युतअपघट्य एक जेल में होता है।
55. The correct statement among the following is:
1. Salt bridge is required for the mixing of the solutions in the two half cells.
 2. Salt bridge allows current to flow between the half cells without mixing the solutions.
 3. Salt bridge enhances the rate of the reaction.
 4. Salt bridge consists of a non-electrolyte in a gel.
56. अभिक्रिया $\text{AgBr}(s) \rightarrow \text{Ag}^+(aq) + \text{Br}^-(aq)$ की मानक मुक्त ऊर्जा ($E^\circ(\text{AgBr}/\text{Ag}, \text{Br}^-) = +0.07 \text{ V}$, $E^\circ(\text{Ag}/\text{Ag}^+) = 0.80 \text{ V}$; $F = 96500 \text{ C mol}^{-1}$) जिस के निकटतम है, वह है
1. 7 kJ mol^{-1}
 2. 70 J mol^{-1}
 3. 70 kJ mol^{-1}
 4. 7 J mol^{-1}
56. The standard free energy of the reaction $\text{AgBr}(s) \rightarrow \text{Ag}^+(aq) + \text{Br}^-(aq)$ is closest to ($E^\circ(\text{AgBr}/\text{Ag}, \text{Br}^-) = +0.07 \text{ V}$, $E^\circ(\text{Ag}/\text{Ag}^+) = 0.80 \text{ V}$; $F = 96500 \text{ C mol}^{-1}$)
1. 7 kJ mol^{-1}
 2. 70 J mol^{-1}
 3. 70 kJ mol^{-1}
 4. 7 J mol^{-1}
57. एक द्रव बूंद (त्रिज्या = 10^{-6} m) का आंतरिक दाब बाह्य दाब की अपेक्षा $1.5 \times 10^5 \text{ N m}^{-2}$ अधिक है। द्रव का पृष्ठ तनाव (mN m^{-1} में) जिसके निकटतम है, वह है
1. 150
 2. 125
 3. 100
 4. 75
57. The internal pressure of a liquid drop (radius = 10^{-6} m) is greater than the external pressure by $1.5 \times 10^5 \text{ N m}^{-2}$. The surface tension (mN m^{-1}) of the liquid is closest to
1. 150
 2. 125
 3. 100
 4. 75
58. एक घनीय क्रिस्टल में (111) तथा (222) परावर्तन प्रेक्षित होते हैं पर (001) परावर्तन प्रेक्षित नहीं होता है। ब्रेव लैटिस है
1. काय केन्द्रित घनीय
 2. फलक केन्द्रित घनीय
 3. साधारण घनीय
 4. पार्श्व केन्द्रित घनीय
58. In a cubic crystal, the (111) and (222) reflections are observed, but not the (001) reflection. The Bravais lattice is
1. body centred cubic
 2. face centred cubic
 3. simple cubic
 4. side centred cubic
59. एक बहुलकी नमूने के लिए परिक्षेप्यता है
1. $\frac{\langle M^2 \rangle}{\langle M \rangle^2}$
 2. $\frac{\langle M \rangle^2}{\langle M^2 \rangle}$
 3. $\frac{\langle M^2 \rangle}{\langle M \rangle}$
 4. $\frac{\langle M \rangle}{\langle M^2 \rangle}$
59. The dispersity of a polymeric sample is
1. $\frac{\langle M^2 \rangle}{\langle M \rangle^2}$
 2. $\frac{\langle M \rangle^2}{\langle M^2 \rangle}$
 3. $\frac{\langle M^2 \rangle}{\langle M \rangle}$
 4. $\frac{\langle M \rangle}{\langle M^2 \rangle}$

60. निम्नलिखित में से कीटो-हेक्सोस है

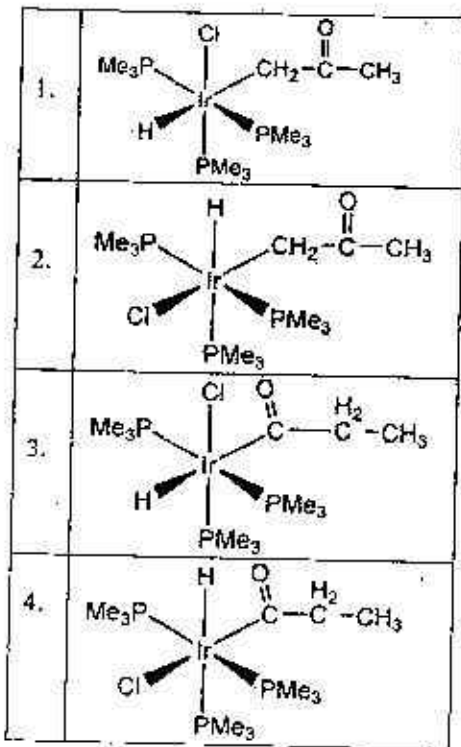
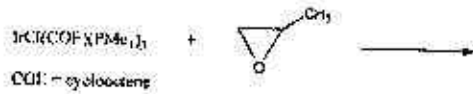
1. ज़ाइलोज
2. गलैक्टोज
3. फ्रक्टोज
4. मैन्नोज

60. The keto-hexose among the following is

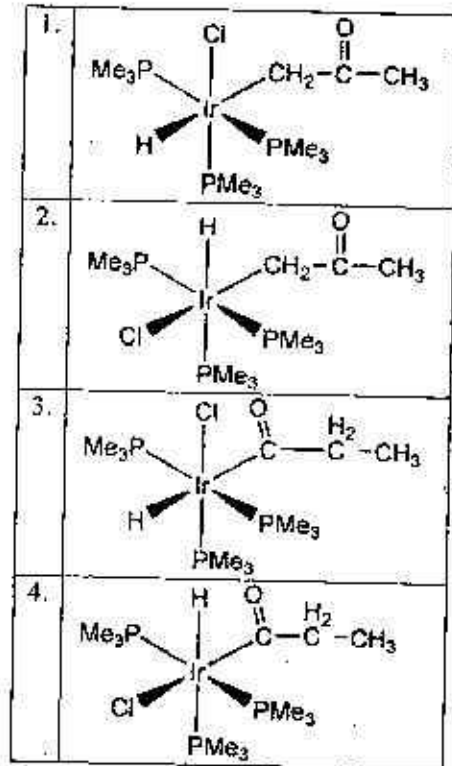
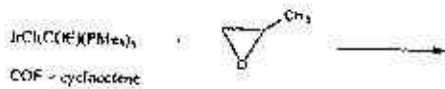
1. Xylose
2. Galactose
3. Fructose
4. Mannose

भाग/PART - C

61. निम्नलिखित अभिक्रिया के लिए उत्पाद है।



61. The product for the reaction given below is



62. $\text{cis-}[Pt(\text{PEt}_3)_2\text{Cl}_2]$ (^{195}Pt (33.8% बहुल्यता); $I = \frac{1}{2}$; इसके दूसरे समस्थानिक NMR अक्रिय हैं; $^{31}\text{P} : I = \frac{1}{2}$ के $^{31}\text{P}\{^1\text{H}\}$ NMR स्पेक्ट्रम में समाविष्ट है सैटेलाइट शिखरों के साथ एक

1. ट्रिपलिट
2. सिंगलिट
3. डबलिट
4. क्वार्टलिट

62. The $^{31}\text{P}\{^1\text{H}\}$ NMR spectrum of $\text{cis-}[Pt(\text{PEt}_3)_2\text{Cl}_2]$ (^{195}Pt (33.8% abundance) $I = \frac{1}{2}$; its other isotopes are NMR inactive; $^{31}\text{P} : I = \frac{1}{2}$) is comprised with satellite peaks of a -

1. triplet
2. singlet
3. doublet
4. quartlet

63. 3d संक्रमण धातु आयन M^{2+} के संकुलों के लिए d-d संक्रमण की तीव्रता का सही क्रम है

1. $\text{cis-}[M(\text{H}_2\text{O})_4\text{Cl}_2] > \text{trans-}[M(\text{H}_2\text{O})_4\text{Cl}_2] > [M(\text{H}_2\text{O})_6]^{2+}$
2. $[M(\text{H}_2\text{O})_6]^{2+} > \text{cis-}[M(\text{H}_2\text{O})_4\text{Cl}_2] > \text{trans-}[M(\text{H}_2\text{O})_4\text{Cl}_2]$
3. $\text{trans-}[M(\text{H}_2\text{O})_4\text{Cl}_2] > \text{cis-}[M(\text{H}_2\text{O})_4\text{Cl}_2] > [M(\text{H}_2\text{O})_6]^{2+}$
4. $[M(\text{H}_2\text{O})_6]^{2+} > \text{cis-}[M(\text{H}_2\text{O})_4\text{Cl}_2] > \text{trans-}[M(\text{H}_2\text{O})_4\text{Cl}_2]$

1-A-H

S/27 CISR/18-1AH--2A

63. The correct order of intensity of the d-d transitions in the complexes of a 3d transition metal ion M^{2+} is
1. $cis-[M(H_2O)_4Cl_2] > trans-[M(H_2O)_4Cl_2] > [M(H_2O)_6]^{2+}$
 2. $[M(H_2O)_6]^{2+} > cis-[M(H_2O)_4Cl_2] > trans-[M(H_2O)_4Cl_2]$
 3. $trans-[M(H_2O)_4Cl_2] > cis-[M(H_2O)_4Cl_2] > [M(H_2O)_6]^{2+}$
 4. $[M(H_2O)_6]^{2+} > cis-[M(H_2O)_4Cl_2] \approx trans-[M(H_2O)_4Cl_2]$
64. डेका बोरेन $B_{10}H_{14}$ की ऐसिटिलीन से Et_2S की उपस्थिति में अभिक्रिया देती है
1. $C_2B_{10}H_{12}$
 2. $C_2B_8H_{10}$
 3. $C_2B_{10}H_{14}$
 4. $C_2B_9H_{11}$
64. The reaction of decaborane $B_{10}H_{14}$ with acetylene in the presence of Et_2S gives
1. $C_2B_{10}H_{12}$
 2. $C_2B_8H_{10}$
 3. $C_2B_{10}H_{14}$
 4. $C_2B_9H_{11}$
65. यौगिक $N_3P_3F_6$ में नाइट्रोजन तथा फास्फोरस के चारों ओर ज्यामितियाँ हैं, क्रमशः
1. पिरैमिडी तथा चतुष्फलकीय
 2. समतली तथा चतुष्फलकीय
 3. पिरैमिडी तथा समतली
 4. समतली तथा त्रिसममताक्ष द्विपिरैमिडी
65. In compound $N_3P_3F_6$, the geometry around nitrogen and phosphorus, respectively, are
1. pyramidal and tetrahedral
 2. planar and tetrahedral
 3. pyramidal and planar
 4. planar and trigonal bipyramidal
66. एक अणु में 2c-2e आबन्धों की संख्या ('x'), 'N' (संयोजकता इलेक्ट्रॉनों) तथा 'n' (कंकाली इलेक्ट्रॉनों) से, $x = (8n - N)/2$ द्वारा संबंधित है। P_4S_3 के लिए x, N तथा n के मान हैं, क्रमशः
1. 7, 38, 9
 2. 7, 24, 9
 3. 9, 38, 7
 4. 9, 24, 7
66. The number of 2c-2e bonds ('x') of a molecule is related to 'N' (valence electrons) and 'n' (skeletal atoms) by $x = (8n - N)/2$. For P_4S_3 , the values of x, N and n, respectively, are

1. 7, 38, 9
2. 7, 24, 9
3. 9, 38, 7
4. 9, 24, 7

67. निम्नलिखित संकुलों का उनकी ν_{CO} प्रबल आवृत्ति से मिलान कीजिए

संकुल	ν_{CO} (cm ⁻¹), मान
(a) $Mo(PF_3)_3(CO)_3$	(i) 1835, 1934
(b) $Mo[P(OMe)_3]_3(CO)_3$	(ii) 1888, 1977
(c) $Mo(PPh_3)_3(CO)_3$	(iii) 2055, 2090
(d) $Mo(pyridine)_3(CO)_3$	(iv) 1746, 1888

सही मिलान है

1. a - i; b - iv; c - ii; d - iii
2. a - iii; b - ii; c - i; d - iv
3. a - iv; b - iii; c - i; d - ii
4. a - i; b - ii; c - iii; d - iv

67. Match the following complexes with their ν_{CO} stretching frequency

Complex	ν_{CO} , cm ⁻¹ , values
(a) $Mo(PF_3)_3(CO)_3$	(i) 1835, 1934
(b) $Mo[P(OMe)_3]_3(CO)_3$	(ii) 1888, 1977
(c) $Mo(PPh_3)_3(CO)_3$	(iii) 2055, 2090
(d) $Mo(pyridine)_3(CO)_3$	(iv) 1746, 1888

The correct match is

1. a - i; b - iv; c - ii; d - iii
2. a - iii; b - ii; c - i; d - iv
3. a - iv; b - iii; c - i; d - ii
4. a - i; b - ii; c - iii; d - iv

68. ν_{CN} की $[Fe(CN)_6]^{3-}$ (A) तथा $[Fe(CN)_6]^{4-}$ (B) में और ν_{CO} की $[Cr(CO)_3(NH_3)_3]$ (C) तथा $[Cr(CO)_6]$ (D) में तुलना नीचे की गयी है। युग्म जिसमें सही क्रम है, वह है:

1. A > B; C > D
2. A > B; C < D
3. A < B; C > D
4. A < B; C < D

68. The ν_{CN} in $[Fe(CN)_6]^{3-}$ (A) and $[Fe(CN)_6]^{4-}$ (B) and ν_{CO} in $[Cr(CO)_3(NH_3)_3]$ (C) and $[Cr(CO)_6]$ (D) are compared below. The pair with correct order is:

1. A > B; C > D
2. A > B; C < D
3. A < B; C > D
4. A < B; C < D

69. $[\text{FeO}_4]^{2-}$ के संबंध में निम्नलिखित कथनों पर विचार कीजिए

- यह pH रेंज 0-14 में स्थिर रहता है
- यह केवल प्रबल क्षारीय माध्यम में स्थिर रहता है
- यह एक अति प्रबल ऑक्सीकरण कर्मक है
- इसके माँस बॉर स्पेक्ट्रम में समावयवी सूति, FeCl_3 की अपेक्षा अधिक ऋणात्मक है

सही कथन हैं

- a, c तथा d
- b, c तथा d
- b तथा c
- c तथा d

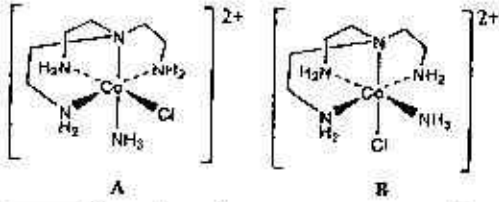
69. Consider the following statements for $[\text{FeO}_4]^{2-}$.

- It is stable in the pH range 0-14.
- It is stable in strongly basic medium only.
- It is a very strong oxidizing agent.
- The isomer shift in its Mössbauer spectrum is more negative compared to that of FeCl_3 .

The correct statements are

- a, c and d
- b, c and d
- b and c
- c and d

70.

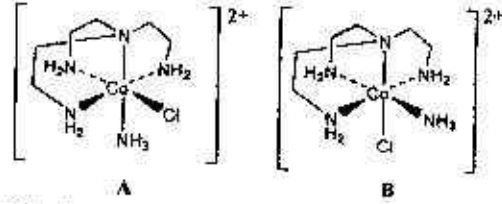


समावयवों A तथा B के क्षार जल अपघटन में एक त्रिसमन्तप्रक्ष द्विपिरैमिडी मध्यवर्ती बनता है। सही कथन हैं

- B की अपेक्षा A तीव्रता से अभिक्रिया करता है और दोनों उत्पादों का एक मिश्रण देते हैं
- A की अपेक्षा B तीव्रता से अभिक्रिया करता है और दोनों उत्पादों का एक मिश्रण देते हैं

- B की अपेक्षा A तीव्रता से अभिक्रिया करता है और B उत्पादों का एक मिश्रण देता है
- A की अपेक्षा B तीव्रता से अभिक्रिया करता है और A उत्पादों का एक मिश्रण देता है

70.



The isomers A and B undergo base hydrolysis by forming a trigonal bipyramidal intermediate. The correct statement is

- A reacts faster than B and both results in a mixture of products
- B reacts faster than A and both results in a mixture of products
- A reacts faster than B and B results in a mixture of products
- B reacts faster than A and A results in a mixture of products

71. B_2H_6 अभिक्रिया करती है

- जल से और देती है बोरिक अम्ल तथा H_2
- ऑक्सीजन से और देती है B_2O_3 तथा H_2
- जल से और देती है बोरिक अम्ल तथा H_2O
- ऑक्सीजन से और देती है B_2O_3 तथा H_2O

उपरोक्त कथनों में से सही है :

- a तथा b
- a तथा d
- b तथा c
- b तथा d

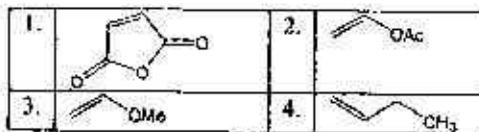
71. B_2H_6 reacts with

- water to give boric acid and H_2
- oxygen to give B_2O_3 and H_2
- water to give boric acid and H_2O
- oxygen to give B_2O_3 and H_2O

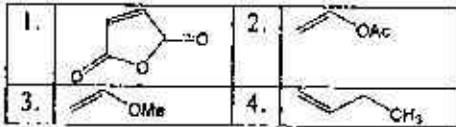
Correct statements from the above are:

- a and b
- a and d
- b and c
- b and d

72. (2,2'-बाइपिरिडीन)Ni(0) के निकेल केन्द्र से जो लिगण्ड प्रबलता से बंधन करता है, वह है



72. The ligand that binds strongly to the nickel center in (2,2'-bipyridine)Ni(0) complex is



73. कॉलम I तथा II की मददका मिलान कीजिए

कॉलम I	कॉलम II
a. मैजिक संख्या	i. न्यूक्लियर विखंडन
b. द्रव बूंद मॉडल	ii. Q-मान
c. ऐक्टिनाइड	iii. रेडियोधर्मिता
d. देहली ऊर्जा	iv. न्यूक्लियस का कोश मॉडल

सही मिलान है

1. a - iv; b - i; c - iii; d - ii
 2. a - ii; b - i; c - iii; d - iv
 3. a - iii; b - iv; c - i; d - ii
 4. a - iv; b - iii; c - i; d - ii
73. Match the items given in Column I with those given in Column II

Column I	Column II
a. Magic number	i. Nuclear fission
b. Liquid drop model of nucleus	ii. Q-value
c. Actinides	iii. Radioactivity
d. Threshold energy	iv. Shell model of nucleus

The correct match is

1. a - iv; b - i; c - iii; d - ii
2. a - ii; b - i; c - iii; d - iv
3. a - iii; b - iv; c - i; d - ii
4. a - iv; b - iii; c - i; d - ii

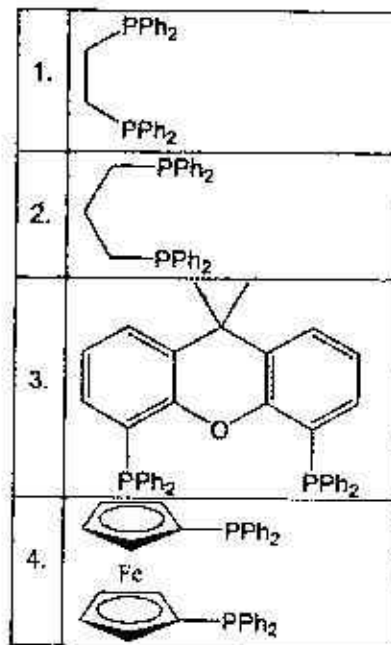
74. स्पीशीज $[\text{Rh}_3\text{P}(\text{CO})_{11}]^{2-}$ का क्लस्टर प्रकार तथा ज्यामिति है, क्रमशः

1. *closo*, तीन कैप के साथ त्रिसमनताक्ष प्रिज्म
2. *arachno*, त्रिसमनताक्ष प्रिज्म
3. *nido*, एक कैप के साथ वर्ग प्रतिप्रिज्म
4. *nido*, दो कैप के साथ त्रिसमनताक्ष प्रिज्म

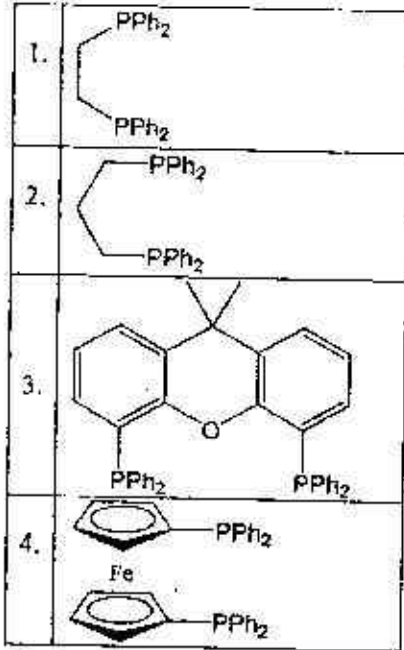
74. The cluster type and geometry of the species $[\text{Rh}_3\text{P}(\text{CO})_{11}]^{2-}$ are

1. *closo*, tricapped trigonal prism
2. *arachno*, trigonal prism
3. *nido*, capped square antiprism
4. *nido*, bicapped trigonal prism

75. 1-प्रोपीन का $[\text{HRh}(\text{CO})\text{L}_2]$ से हाइड्रोफॉर्मिलीकरण रेखिक तथा शाखित फॉर्मिलीकृत उत्पाद देता है। रेखिक हाइड्रोफॉर्मिलीकृत उत्पाद सर्वोच्च वरणक्षमता से बनता है जब 'L' इस रोडियम संकुल में है।



75. Hydroformylation of 1-propene with $[\text{HRh}(\text{CO})\text{L}_2]$ leads to linear and branched formylated products. The linear hydroformylated product is formed with highest selectivity when 'L' in the rhodium complex is



76. हाइड्रोकार्बन जिसकी संरचना P_4O_6 की संरचना के अनुरूप है, वह है

1. $[(CH)_4(\mu-CH_2)_6]$
2. $[(CH)_6(\mu-CH_2)_4]$
3. $[(CH_2)_4(\mu-CH)_6]$
4. $[(CH_2)_4(\mu-CH)_4]$

76. The hydrocarbon having an analogous structure to that of P_4O_6 is

1. $[(CH)_4(\mu-CH_2)_6]$
2. $[(CH)_6(\mu-CH_2)_4]$
3. $[(CH_2)_4(\mu-CH)_6]$
4. $[(CH_2)_4(\mu-CH)_4]$

77. निम्नलिखित तीन कॉलमों में दी गयी मदों का मिलान कीजिए

धातवीय प्रोटीन	धातु केन्द्र से समन्वित स्पीशीज़	अनुनाद रमन O-O प्रवण आवृत्ति (cm^{-1})
A. ऑक्सी मायोग्लोबिन	I. $\eta^2, \eta^2-O_2^{2-}$	X. 844
B. ऑक्सी हीमोसायनिन	II. HO_2^-	Y. 803
C. ऑक्सी हीमोएरीथ्रिन	III. O_2^-	Z. 1105

सही मिलान है

1. A-III-Z; B-I-Y; C-II-X
2. A-II-Y; B-I-X; C-III-Z
3. A-III-Y; B-I-Z; C-II-X
4. A-I-X; B-II-Y; C-III-Z

77. Match the items given below in the three columns

Metallo-protein	Species coordinated to metal centre(s)	Resonance Raman O-O stretching frequency (cm^{-1})
A. Oxymyoglobin	I. $\eta^2, \eta^2-O_2^{2-}$	X. 844
B. Oxyhemocyanin	II. HO_2^-	Y. 803
C. Oxyhemerythrin	III. O_2^-	Z. 1105

Correct matches

1. A-III-Z; B-I-Y; C-II-X
2. A-II-Y; B-I-X; C-III-Z
3. A-III-Y; B-I-Z; C-II-X
4. A-I-X; B-II-Y; C-III-Z

78. ठोस $Na[Fe(EDTA)(H_2O)_n]$ (X) का एक नमूना तापभास्वत्मक प्रयोग में $120^\circ C$ पर 5.6% की संहति क्षति दर्शाता है। इस संहति क्षति के पश्चात शेष संकुल को पहचानिए।

1. $Na[Fe(EDTA)(H_2O)]$
2. $Na[Fe(EDTA)]$
3. $Na[Fe(EDTA)(H_2O)_2]$
4. $Na[Fe(EDTA)(H_2O)_3]$

78. A solid sample of $Na[Fe(EDTA)(H_2O)_n]$ (X) showed 5.6% weight loss at $120^\circ C$ in a thermogravimetric experiment. Identify the complex left after this weight loss.

1. $Na[Fe(EDTA)(H_2O)]$
2. $Na[Fe(EDTA)]$
3. $Na[Fe(EDTA)(H_2O)_2]$
4. $Na[Fe(EDTA)(H_2O)_3]$

79. अणुओं के दो सेटों पर विचार कीजिए

सेट A: $[AlF_6]^{3-}$, $[PF_6]^-$, $[SF_6]$ तथा $[SiF_6]^{2-}$

सेट B: $[Ba(H_2O)_8]^{2+}$, $[Ca(H_2O)_6]^{2+}$,

$[Mg(H_2O)_6]^{2+}$, $[Sr(H_2O)_6]^{2+}$

सेट A तथा सेट B में लिगेण्ड विनिमय की दरें जिनमें मन्दतम है, वह हैं क्रमशः

1. $[\text{AlF}_6]^{3-}$ तथा $[\text{Sr}(\text{H}_2\text{O})_6]^{2+}$
2. $[\text{SF}_6]$ तथा $[\text{Mg}(\text{H}_2\text{O})_6]^{2+}$
3. $[\text{SiF}_6]^{2-}$ तथा $[\text{Ca}(\text{H}_2\text{O})_6]^{2+}$
4. $[\text{PF}_6]^-$ तथा $[\text{Ca}(\text{H}_2\text{O})_6]^{2+}$

79. Consider the two sets of molecules.

Set A: $[\text{AlF}_6]^{3-}$, $[\text{PF}_6]^-$, $[\text{SF}_6]$ and $[\text{SiF}_6]^{2-}$.

Set B: $[\text{Ba}(\text{H}_2\text{O})_6]^{2+}$, $[\text{Ca}(\text{H}_2\text{O})_6]^{2+}$,

$[\text{Mg}(\text{H}_2\text{O})_6]^{2+}$, $[\text{Sr}(\text{H}_2\text{O})_6]^{2+}$.

The slowest ligand exchange rate in Set A and Set B are, respectively

1. $[\text{AlF}_6]^{3-}$ and $[\text{Sr}(\text{H}_2\text{O})_6]^{2+}$
2. $[\text{SF}_6]$ and $[\text{Mg}(\text{H}_2\text{O})_6]^{2+}$
3. $[\text{SiF}_6]^{2-}$ and $[\text{Ca}(\text{H}_2\text{O})_6]^{2+}$
4. $[\text{PF}_6]^-$ and $[\text{Ca}(\text{H}_2\text{O})_6]^{2+}$

80. Eu^{3+} के लिए निम्न कथनों पर विचार कीजिए

- a. इसके संकुलों के UV-vis स्पेक्ट्रमों में तीव्र बैंडों की स्थिति लिगण्ड पर्यावरण पर बेतरह निर्भर करती है
- b. इसकी निम्नतम अवस्था के लिए पद प्रतीक 7F_0 है
- c. इसके प्रेषित चुम्बकीय आघूर्ण का कारण उच्चतर J तलों का बसना है
- d. 2 K पर इसका चुम्बकीय आघूर्ण शून्य की ओर अभसर होता है।

सही कथनों का सेट है

1. a, c तथा d. 2. b, c तथा d.
3. a, b तथा d. 4. a, b तथा c.

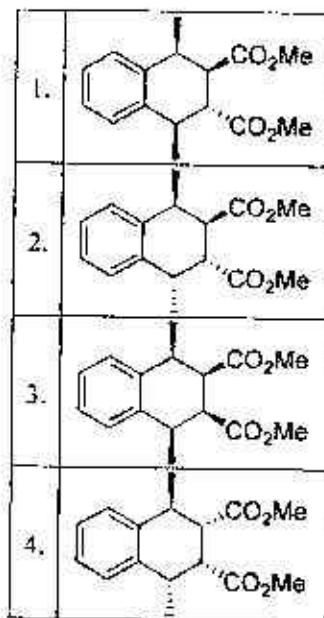
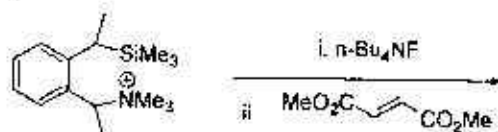
80. Consider following statements for Eu^{3+}

- a. The positions of sharp bands in UV-vis spectra of its complexes depend heavily on the ligand environment.
- b. Its ground state term symbol is 7F_0 .
- c. The observed magnetic moment is due to populated higher J level.
- d. At 2 K its magnetic moment approaches to zero.

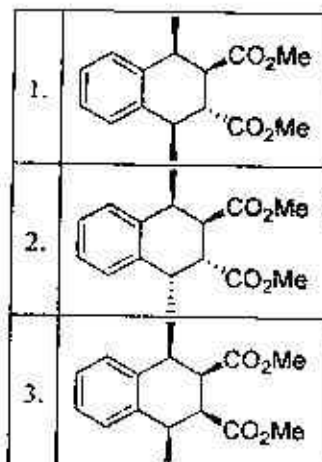
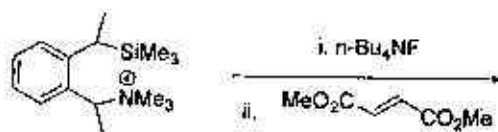
The set of correct statements is

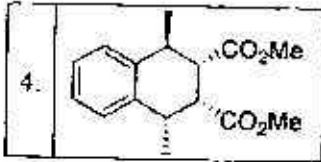
1. a, c and d. 2. b, c and d.
3. a, b and d. 4. a, b and c.

81. निम्नलिखित अभिक्रिया में विरचित मुख्य उत्पाद है

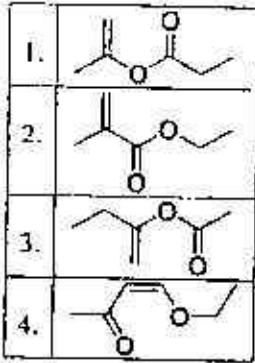


81. The major product formed in the following reaction is

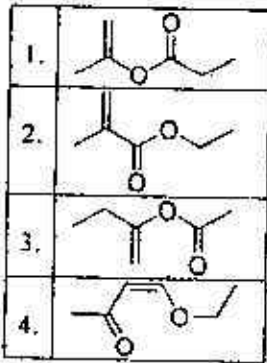




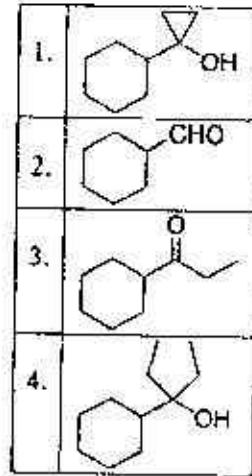
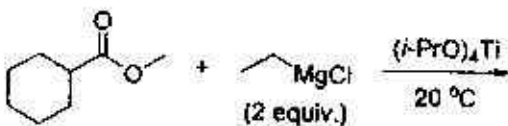
82. निम्नलिखित अभिलाक्षणिक स्पेक्ट्री आँकड़ें दर्शाने वाले यौगिक की संरचना है।
 IR: 1720 cm^{-1}
 $^1\text{H NMR}$: 6.2 (br s, 1H), 5.5 (br s, 1H), 4.2 (q, 2H), 2.0 (s, 3H), 1.1 (t, 3H)



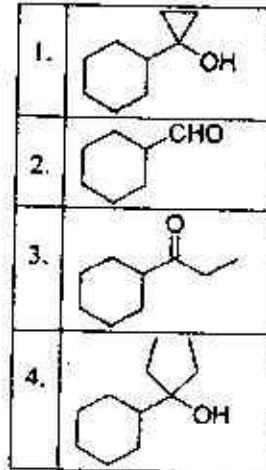
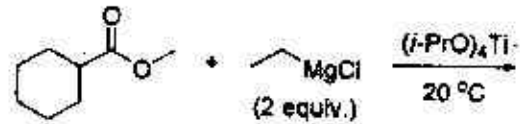
82. Structure of the compound displaying following characteristic spectral data
 IR: 1720 cm^{-1}
 $^1\text{H NMR}$: 6.2 (br s, 1H), 5.5 (br s, 1H), 4.2 (q, 2H), 2.0 (s, 3H), 1.1 (t, 3H)
 is



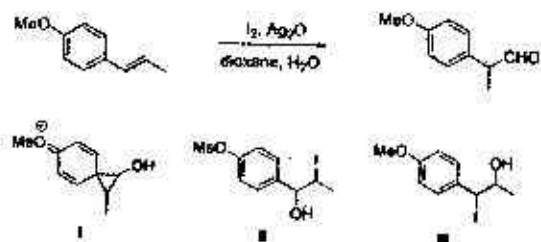
83. निम्नलिखित अभिक्रिया में विरचित मुख्य उत्पाद है।



83. The major product formed in the following reaction is

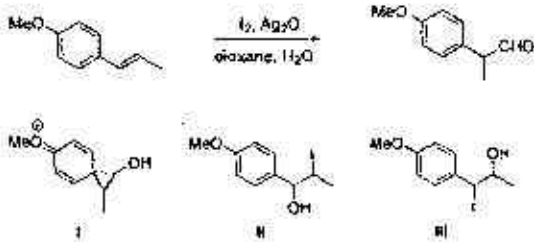


84. निम्नलिखित अभिक्रिया में सम्मिलित मध्यवर्ती हैं।



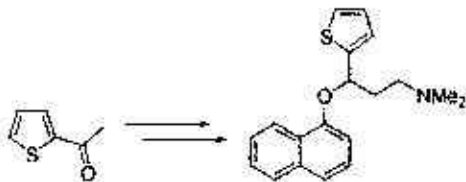
- केवल I
- केवल II
- I तथा II केवल
- I तथा III केवल

84. The intermediate(s) involved in the following reaction is(are)



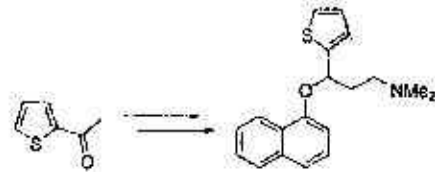
- only I
- only II
- I and II only
- I and III only

85. निम्नलिखित रूपान्तरण के लिए उपयोग किये जाने वाले अभिकर्मकों का सही क्रम है



- (I) NaH, 1-फ्लुओरोनाफ्थलीन; (II) NaBH₄; (III) i. (CH₂O)_n, Me₂NH.HCl; ii. 5 N NaOH.
- (I) NaBH₄; (II) NaH, 1-फ्लुओरोनाफ्थलीन; (III) i. (CH₂O)_n, Me₂NH.HCl; ii. 5 N NaOH.
- (I) i. (CH₂O)_n, Me₂NH.HCl; ii. 5 N NaOH; (II) NaBH₄; (III) NaH, 1-फ्लुओरोनाफ्थलीन.
- (I) i. (CH₂O)_n, Me₂NH.HCl; ii. 5 N NaOH; (II) NaH, 1-फ्लुओरोनाफ्थलीन; (III) NaBH₄.

85. Correct sequence of reagents to be used for the following conversion is



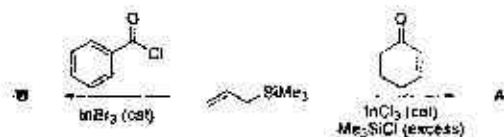
- (I) NaH, 1-fluoronaphthalene; (II) NaBH₄; (III) i. (CH₂O)_n, Me₂NH.HCl; ii. 5 N NaOH.
- (I) NaBH₄; (II) NaH, 1-fluoronaphthalene; (III) i. (CH₂O)_n, Me₂NH.HCl; ii. 5 N NaOH.
- (I) i. (CH₂O)_n, Me₂NH.HCl; ii. 5 N NaOH; (II) NaBH₄; (III) NaH, 1-fluoronaphthalene.
- (I) i. (CH₂O)_n, Me₂NH.HCl; ii. 5 N NaOH; (II) NaH, 1-fluoronaphthalene; (III) NaBH₄.

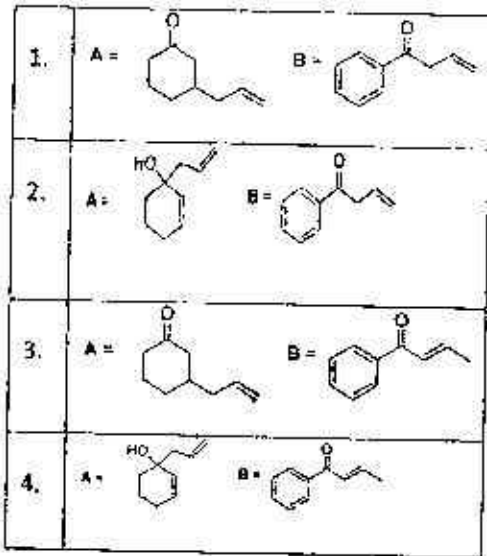
86. निम्नलिखित अभिक्रिया में विरचित मुख्य उत्पाद A तथा B हैं।



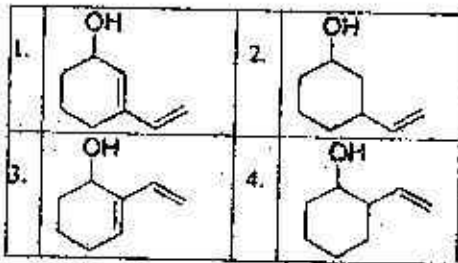
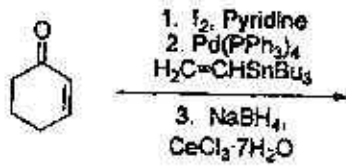
1.	A =	B =
2.	A =	B =
3.	A =	B =
4.	A =	B =

86. The major products A and B formed in the following reactions are

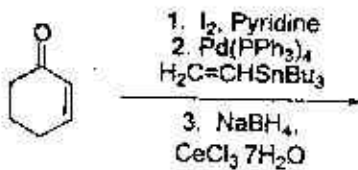




87. निम्नलिखित अभिक्रिया में विरचित मुख्य उत्पाद है।

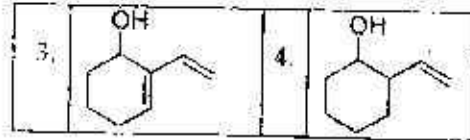


87. The major product formed in the following reaction is

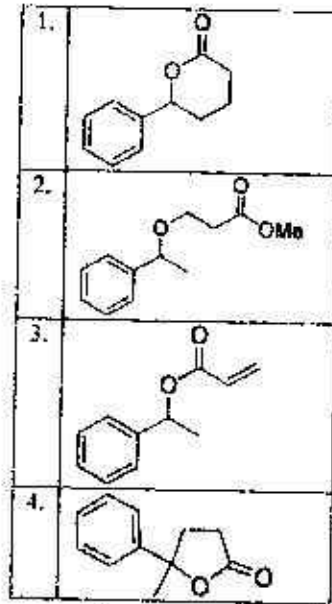
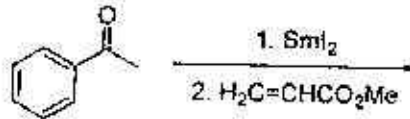


1-A-H

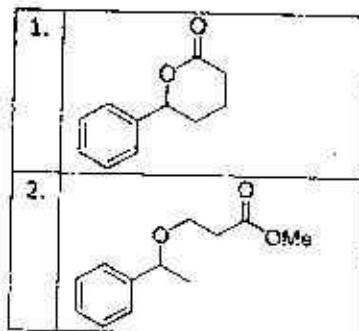
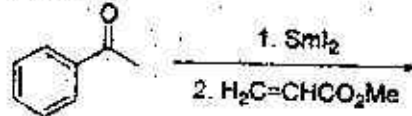
S/27 CISR/18-1AH-3

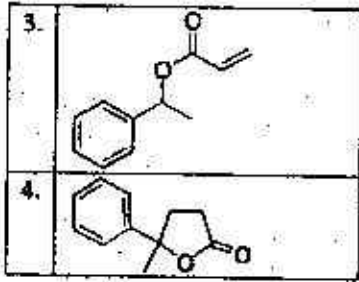


88. निम्नलिखित अभिक्रिया में विरचित मुख्य उत्पाद है।

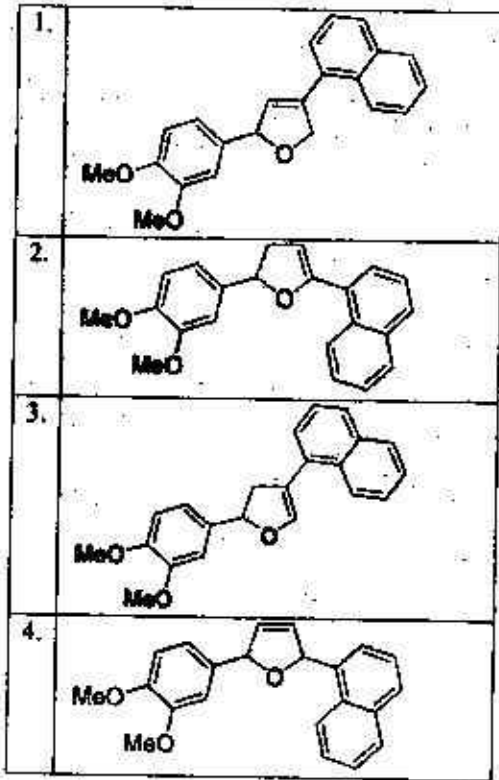
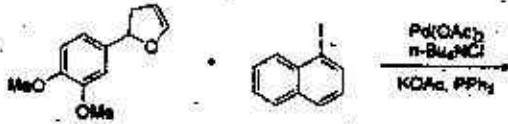


88. The major product formed in the following reaction is

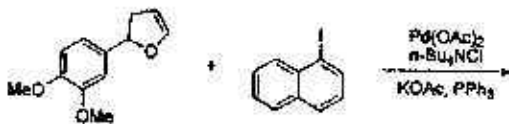




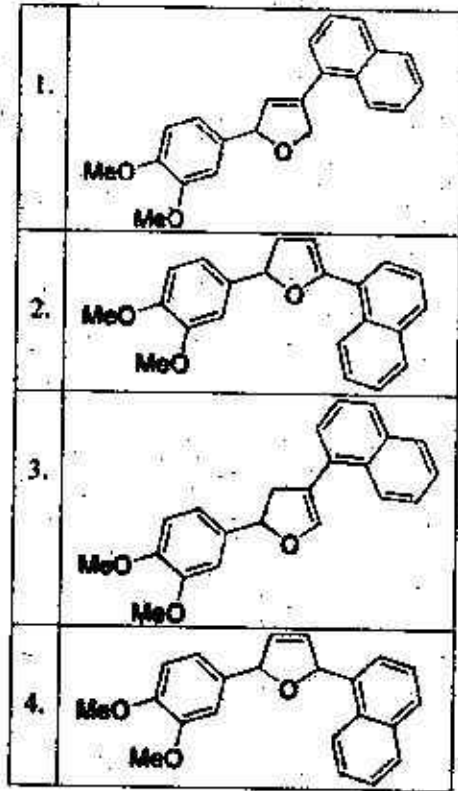
89. निम्नलिखित अभिक्रिया में विरचित मुख्य उत्पाद है।



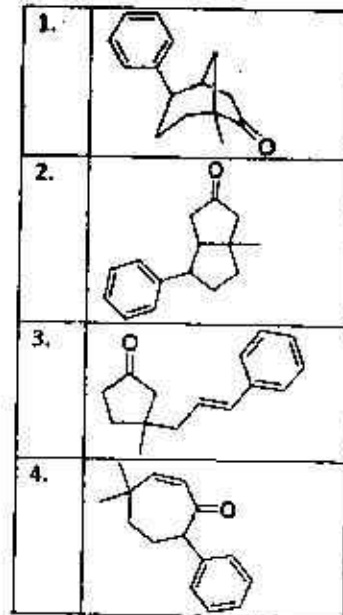
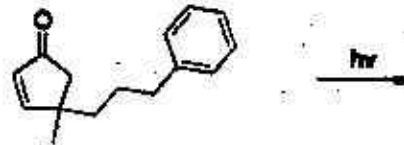
89. The major product formed in the following reaction is



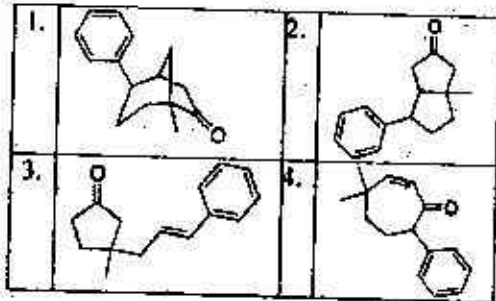
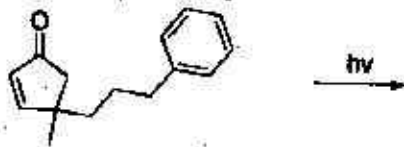
1-A-H



90. निम्नलिखित प्रकार रासायनिक अभिक्रिया में विरचित मुख्य उत्पाद है।



90. The major product formed in the following photochemical reaction is



91. निम्नलिखित रूपांतरण में अभिकर्मकों के प्रयोग किए जाने का सही क्रम है।



- (I) LDA, EtBr; (II) EtLi; (III) H₃O⁺
- (I) EtLi; (II) LDA, EtBr; (III) H₃O⁺
- (I) H₃O⁺; (II) EtLi; (III) LDA, EtBr
- (I) EtLi; (II) H₃O⁺; (III) LDA, EtBr

91. Correct sequence of reagents to be used for the following conversion is



- (I) LDA, EtBr; (II) EtLi; (III) H₃O⁺
- (I) EtLi; (II) LDA, EtBr; (III) H₃O⁺
- (I) H₃O⁺; (II) EtLi; (III) LDA, EtBr
- (I) EtLi; (II) H₃O⁺; (III) LDA, EtBr

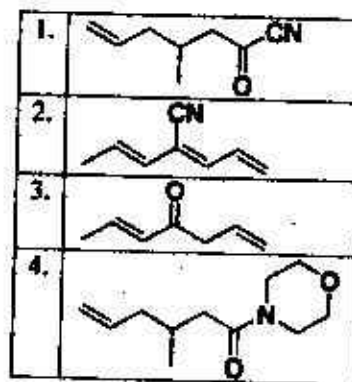
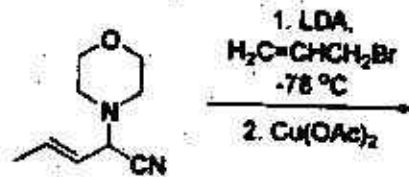
92. NaOMe की उपस्थिति में गर्म करने पर दोनों, 1-क्लोरो-1-फेनिलप्रोपेन-2-ऑन तथा 1-क्लोरो-3-फेनिलप्रोपेन-2-ऑन एक ही उत्पाद A देते हैं। उत्पाद A है

- मेथिल 3-फेनिलप्रोपेनोएट
- मेथिल 2-फेनिलप्रोपेनोएट
- मेथिल 2-मेथॉक्सी-2-फेनिलप्रोपेनोएट
- 1-मेथॉक्सी-3-फेनिलप्रोपेन-2-ऑन

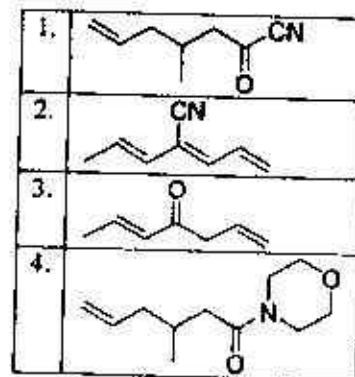
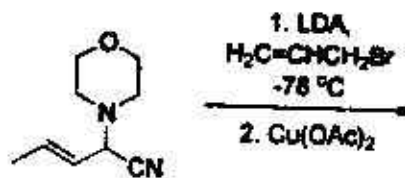
92. Both, 1-chloro-1-phenylpropan-2-one and 1-chloro-3-phenylpropan-2-one give same product A when heated in presence of NaOMe. The product A is

- methyl 3-phenylpropanoate
- methyl 2-phenylpropanoate
- methyl 2-methoxy-2-phenylacetate
- 1-methoxy-3-phenylpropan-2-one

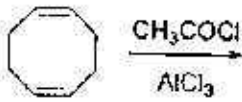
93. निम्नलिखित अभिक्रिया क्रम में विरचित मुख्य उत्पाद है



93. The major product formed in the following reaction sequence is

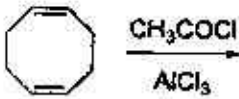


94. निम्नलिखित अभिक्रिया में विरचित मुख्य उत्पाद है।



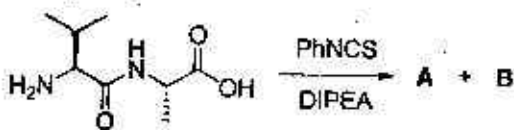
1.		2.	
3.		4.	

94. The major product formed in the following reaction is



1.		2.	
3.		4.	

95. डाइपेप्टाइड के एडमैन निम्नीकरण में विरचित उत्पादों A तथा B की संरचनाएँ हैं।

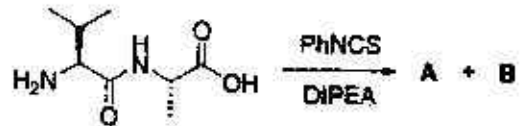


1.	A =	B =
----	-----	-----

1-A-H

2.	A =	B =
3.	A =	B =
4.	A =	B =

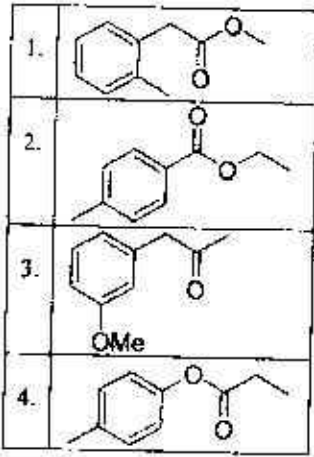
95. The structures of products A and B formed in the Edman degradation of the dipeptide are



1.	A =	B =
2.	A =	B =
3.	A =	B =
4.	A =	B =

96. एक कार्बनिक यौगिक के आसिक स्पेक्ट्रमी आँकड़े नीचे दिए हैं:

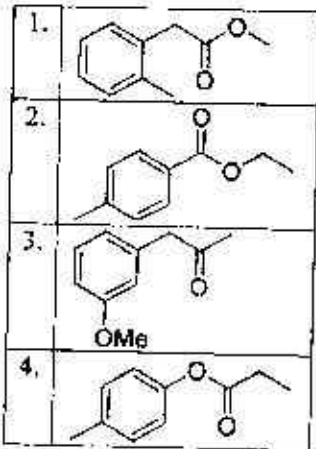
- ^{13}C NMR स्पेक्ट्रम में δ 120-150 ppm के मध्य 4 सिग्नल
 - ^1H NMR स्पेक्ट्रम में δ 6.8-8.5 ppm के मध्य 2 द्रविक
 - IR स्पेक्ट्रम में 1724 cm^{-1} पर एक अवशोषण बैंड
- यौगिक की संरचना है



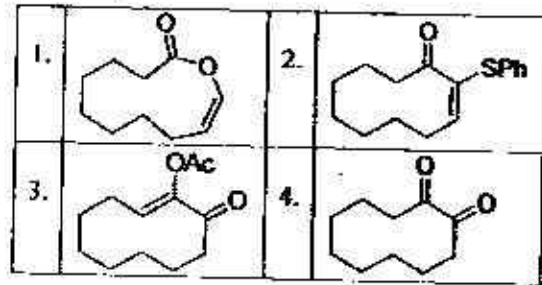
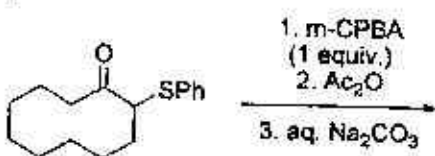
96. Partial spectroscopic data is given below for an organic compound:

- 4 signals between δ 120-150 ppm in ^{13}C NMR spectrum
- 2 doublets between δ 6.8-8.5 ppm in ^1H NMR spectrum
- an absorption band at 1724 cm^{-1} in IR spectrum

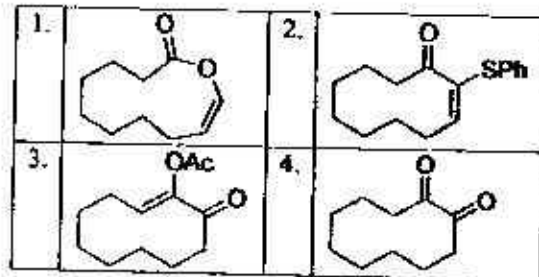
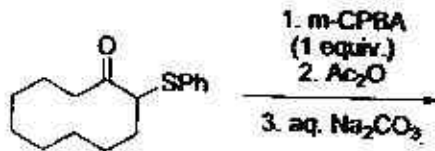
The structure of the compound is



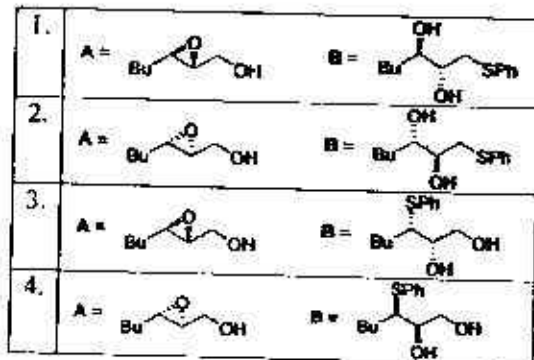
97. निम्नलिखित अभिक्रिया में विरचित मुख्य उत्पाद है।



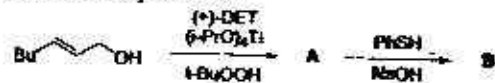
97. The major product formed in the following reaction is



98. निम्नलिखित अभिक्रिया क्रम के मुख्य उत्पाद A तथा B हैं।

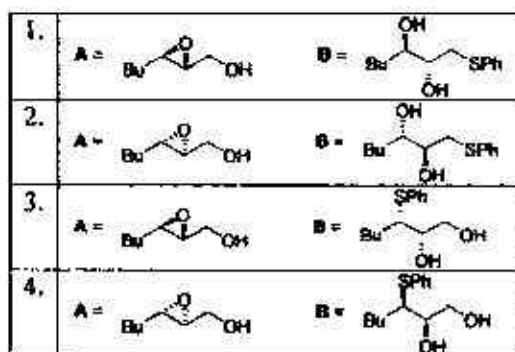


98. The major products A and B in the following reaction sequence are

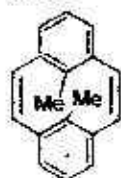


1-A-H

S/27 CISR/18-1AH-4A



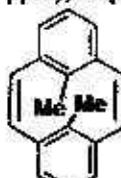
99. यौगिक P प्रवचन रसायनिक अवस्था में पेरिसाइकलिक अभिक्रिया से गुजर कर यौगिक Q देता है। यौगिक Q के मेथिल ग्रुपों के लिए सापेक्ष त्रिविम रसायन तथा ^1H NMR में रसायनिक सुत्तिओं का मान (δ ppm में) है क्रमशः



P

1. *cis*; -5
2. *trans*; 17
3. *cis*; 17
4. *trans*; -5

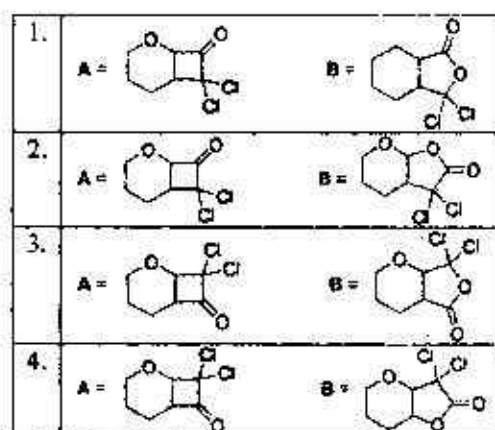
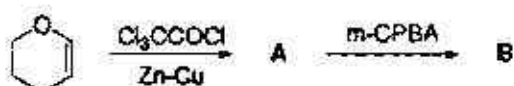
99. The compound P undergoes a pericyclic reaction under photochemical conditions to give compound Q. In compound Q, the relative stereochemistry and ^1H NMR chemical shift values of methyl groups (in δ ppm), respectively, are



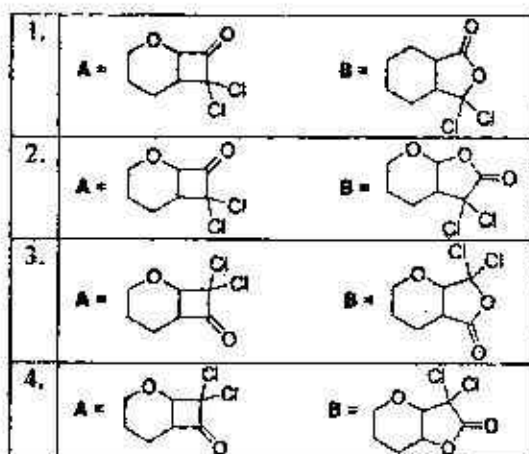
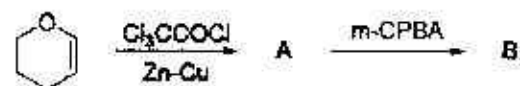
P

1. *cis*; -5
2. *trans*; 17
3. *cis*; 17
4. *trans*; -5

100. निम्नलिखित अभिक्रिया क्रम में मुख्य उत्पाद A तथा B है।



100. The major products A and B in the following reaction sequence are



101. निम्नलिखित अणुओं को उनकी मौलिक रूपन आवृत्तियों के बढ़ते क्रम में व्यवस्थित कीजिए।

1. $\text{O}_2^{2-} < \text{O}_2^- < \text{O}_2 < \text{O}_2^+$
2. $\text{O}_2 < \text{O}_2^- < \text{O}_2^+ < \text{O}_2^{2-}$
3. $\text{O}_2^{2-} < \text{O}_2^- < \text{O}_2^+ < \text{O}_2$
4. $\text{O}_2^+ < \text{O}_2 < \text{O}_2^- < \text{O}_2^{2-}$

101. Arrange the following molecules in order of increasing fundamental vibrational frequencies

1. $O_2^{2-} < O_2^- < O_2 < O_2^+$
2. $O_2 < O_2^+ < O_2^- < O_2^{2-}$
3. $O_2^{2-} < O_2^- < O_2^+ < O_2$
4. $O_2^+ < O_2 < O_2^- < O_2^{2-}$

102. 1,3-ब्यूटाडाइन के हुकेल आणविक आर्बिटलों में से एक है

$$\phi = 0.60\chi_1 + 0.37\chi_2 - 0.37\chi_3 - 0.60\chi_4$$

इस आर्बिटल की ऊर्जा कूलाम (α) तथा अनुनाद (β) समाकलों के पदों में है :

1. $\alpha + 1.62\beta$
2. $\alpha + 0.62\beta$
3. $\alpha - 0.62\beta$
4. $\alpha - 1.62\beta$

102. One of the Hückel molecular orbitals of 1,3-butadiene is

$$\phi = 0.60\chi_1 + 0.37\chi_2 - 0.37\chi_3 - 0.60\chi_4$$

The energy of this orbital in terms of the coulomb (α) and resonance (β) integrals is:

1. $\alpha + 1.62\beta$
2. $\alpha + 0.62\beta$
3. $\alpha - 0.62\beta$
4. $\alpha - 1.62\beta$

103. एक अणु AB_2 निम्नलिखित IR तथा रामन स्पेक्ट्रमों को दर्शाता है

$\bar{\nu}$ (cm^{-1})	IR	रामन
2215	vs, PR	s, depol.
1250	vs, PR	vs, pol.
560	s, PQR	-

अणु की संरचना है:

1. रैखिक सममित (D_{2h})
2. बंक सममित (C_{2v})
3. रैखिक असममित (C_{2v})
4. बंक असममित (C_2)

103. A molecule AB_2 shows the following IR and Raman spectra

$\bar{\nu}$ (cm^{-1})	IR	Raman
2215	vs, PR	s, depol.
1250	vs, PR	vs, pol.
560	s, PQR	-

The structure of the molecule is:

1. Linear symmetrical (D_{2h})
2. Bent symmetrical (C_{2v})
3. Linear asymmetrical (C_{2v})
4. Bent asymmetrical (C_2)

104. x^3 विभव के क्षेप में प्रभावित एक विमोय (x) सरल आवर्ती दोलक की निम्नतम ऊर्जा अवस्था में प्रथम और द्वितीय कोटि के संशोधन का योग है:

1. < 0
2. 0
3. > 0
4. ≥ 0

104. For a one-dimensional (x) harmonic oscillator perturbed by an x^3 potential, the sum of the first order and second order corrections to the ground state energy is:

1. < 0
2. 0
3. > 0
4. ≥ 0

105. लम्बाई L के एक विमोय बॉक्स (x) में सीमित कण की अवस्थाओं $n = 1$ तथा $n = 2$ में, स्थिति $\langle x \rangle$ के औसत मानों में अन्तर है:

1. $L/4$
2. $L/2$
3. $L/3$
4. 0

105. Difference of average values of position $\langle x \rangle$ for states $n = 1$ and $n = 2$ of a particle confined in a one-dimensional (x) box of length L is:

1. $L/4$
2. $L/2$
3. $L/3$
4. 0

106. निम्नलिखित में से हर्मिटी संक्यरक है :

1. $i\hbar \frac{d^2}{dx^2}$
2. $-i\hbar \frac{d}{dx}$
3. $i\hbar x$
4. $i\hbar$

106. The hermitian operator among the following is:

1. $i\hbar \frac{d^2}{dx^2}$
2. $-i\hbar \frac{d}{dx}$
3. $i\hbar x$
4. $i\hbar$

107. 300 K पर 1 l आयतन में सीमित Ar जिसकी तरंग दैर्घ्य 1.60×10^{-11} m है के लिए स्थानांतरीय विभाजन फलन जिस के निकटतम है, वह है

1. 24.4×10^{29}
2. 2.44×10^{29}
3. 0.244×10^{29}
4. 244×10^{29}

107. The translational partition function for Ar confined to a volume of 1 l. at 300 K, having thermal wavelength of 1.60×10^{-11} m, is closest to

1. 24.4×10^{29}
2. 2.44×10^{29}
3. 0.244×10^{29}
4. 244×10^{29}

108. दो असंपीड्य प्रावस्थाओं के मध्य प्रावस्था संक्रमण पर विचार कीजिए। निम्नलिखित में से सही कथन है:

1. संक्रमण दाब से स्वतंत्र है।
2. संक्रमण तापमान से स्वतंत्र है।
3. ऐसे संक्रमण की एन्ट्रॉपी सदा शून्य होती है।
4. ऐसे संक्रमण की एन्थैल्पी सदा अ-शून्य होती है।

108. Consider a phase transition between two incompressible phases. The correct statement among the following is:

1. The transition is independent of pressure.
2. The transition is independent of temperature.
3. The entropy of such transitions is always zero.
4. The enthalpy of such transitions is always non-zero.

109. CO के घूर्णन समन स्पेक्ट्रम में तृतीय तथा चतुर्थ लइनें 8 cm^{-1} से पृथक हैं। जो CO की आबन्ध लम्बाई देता है, वह है :

$$1. \sqrt{\frac{h}{16\pi^2 \mu c}} \quad 2. \sqrt{\frac{3h}{32\pi^2 \mu c}}$$

$$3. \sqrt{\frac{h}{32\pi^2 \mu c}} \quad 4. \sqrt{\frac{5h}{32\pi^2 \mu c}}$$

109. The third and fourth lines in the rotational Raman spectrum of CO are separated by 8 cm^{-1} . The CO bond length is given by:

$$1. \sqrt{\frac{h}{16\pi^2 \mu c}} \quad 2. \sqrt{\frac{3h}{32\pi^2 \mu c}}$$

$$3. \sqrt{\frac{h}{32\pi^2 \mu c}} \quad 4. \sqrt{\frac{5h}{32\pi^2 \mu c}}$$

110. जल तथा एक अल्प विलेय साल्ट AB_2 के संतृप्त विलयन की चालकताएं क्रमशः हैं 7 तथा $21 \mu\text{S m}^{-1}$ । दिया है, $\lambda_{\text{H}^+}^0 = 12.72 \text{ mS m}^2 \text{ mol}^{-1}$ तथा $\lambda_{\text{B}^-}^0 = 7.64 \text{ mS m}^2 \text{ mol}^{-1}$, AB_2 की विलेयता (mol m^{-3} में) है।

1. 5.0×10^{-4}
2. 5.0×10^{-3}
3. 5.0×10^{-5}
4. 5.0×10^{-6}

110. Conductivities of water and a saturated solution of a sparingly soluble salt AB_2 are 7 and $21 \mu\text{S m}^{-1}$, respectively. Given, $\lambda_{\text{H}^+}^0 = 12.72 \text{ mS m}^2 \text{ mol}^{-1}$ and $\lambda_{\text{B}^-}^0 = 7.64 \text{ mS m}^2 \text{ mol}^{-1}$, the solubility of AB_2 in mol m^{-3} , is

1. 5.0×10^{-4}
2. 5.0×10^{-3}
3. 5.0×10^{-5}
4. 5.0×10^{-6}

111. 300 K पर निम्नलिखित अभिक्रिया का साम्य स्थिरांक



जिसके निकट है, वह है

(दिया है : $E_{\text{Sn}^{4+}/\text{Sn}^{2+}}^0 = +0.15 \text{ V}$ तथा $E_{\text{Sn}^{2+}/\text{Sn}}^0 = -0.15 \text{ V}$; $R = 8.314 \text{ J K}^{-1} \text{ mol}^{-1}$; $F = 96485 \text{ C mol}^{-1}$)

1. $10^{6.08}$
2. $10^{4.08}$
3. $10^{10.08}$
4. $10^{12.08}$

111. The equilibrium constant of the following reaction



at 300 K is close to

(Given : $E_{\text{Sn}^{4+}/\text{Sn}^{2+}}^0 = +0.15 \text{ V}$ and $E_{\text{Sn}^{2+}/\text{Sn}}^0 = -0.15 \text{ V}$; $R = 8.314 \text{ J K}^{-1} \text{ mol}^{-1}$; $F = 96485 \text{ C mol}^{-1}$)

1. $10^{6.08}$ 2. $10^{8.08}$
3. $10^{10.08}$ 4. $10^{12.08}$

112. D_2 के वियोजनी अधिशोषण के लिए लैंग्मियर अधिशोषण समतापी है ($p = D_2$ का आंशिक दाब तथा $k =$ अधिशोषण और विशोषण के दर नियताकों का अनुपात):

1. $\theta = \frac{kp}{1+kp}$ 2. $\theta = \frac{k}{1+kp}$
3. $\theta = \frac{(kp)^{1/2}}{1+(kp)^{1/2}}$ 4. $\theta = \left(\frac{p}{1+kp}\right)^{1/2}$

112. Langmuir adsorption isotherm for the dissociative adsorption of D_2 ($p =$ partial pressure of D_2 and $k =$ ratio of rate constants for adsorption and desorption) is:

1. $\theta = \frac{kp}{1+kp}$ 2. $\theta = \frac{k}{1+kp}$
3. $\theta = \frac{(kp)^{1/2}}{1+(kp)^{1/2}}$ 4. $\theta = \left(\frac{p}{1+kp}\right)^{1/2}$

113. एक आदर्श गैस की एन्ट्रॉपी होती है

1. V से स्वतंत्र
2. V के समानुपाती
3. $\ln V$ के समानुपाती
4. V^2 के समानुपाती

113. Entropy of a perfect gas is

1. independent of V .
2. proportional to V .
3. proportional to $\ln V$.
4. proportional to V^2 .

114. अनियमित कुंडली में प्रतिरूपित $N = 1000$ तथा $l = 150$ pm की बहुलक शृंखला के लिए कन्टूर तथा वर्ग माध्य मूल लम्बाईयाँ (nm में) जिनके निकटम हैं, वह हैं।

1. 1.50 तथा 47.4
2. 15.0 तथा 4.74
3. 150 तथा 47.4
4. 150 तथा 4.74

114. The contour and root mean square length (in nm) of a polymer chain modelled as a random coil, with $N = 1000$ and $l = 150$ pm, are closest to

1. 1.50 and 47.4
2. 15.0 and 4.74
3. 150 and 47.4
4. 150 and 4.74

115. एक निकाय जिसमें 10 अन्योन्यक्रियाहीन स्पिन ($S = 1$) हैं के लिए मुक्त ऊर्जा $[A - A(0)]$ है

1. $-k_B T \ln(3)$
2. $-10k_B T \ln(3)$
3. $-k_B T \ln(0.3)$
4. $-10k_B T \ln(0.3)$

115. The free energy $[A - A(0)]$ of a system with 10 non-interacting spins ($S = 1$) is

1. $-k_B T \ln(3)$
2. $-10k_B T \ln(3)$
3. $-k_B T \ln(0.3)$
4. $-10k_B T \ln(0.3)$

TABLE - 1

D_{2k}	E	C_2 (z)	C_2 (y)	C_2 (x)	i	σ (xy)	σ (xz)	σ (yz)	
A_g	1	1	1	1	1	1	1	1	x^2, y^2, z^2
B_{1g}	1	1	-1	-1	1	1	-1	-1	R_{xx}, xy
B_{2g}	1	-1	1	-1	1	-1	1	-1	R_{yy}, xz
B_{3g}	1	-1	-1	1	1	-1	-1	1	R_{zz}, yz
A_u	1	1	1	1	-1	-1	-1	-1	
B_{1u}	1	1	-1	-1	-1	-1	1	1	x
B_{2u}	1	-1	1	-1	-1	1	-1	1	y
B_{3u}	1	-1	-1	1	-1	1	1	-1	z

116. xy -तल में एथिलीन का π_u -आर्बिटल इस प्रकार स्थापित किया जाता है कि $C = C$ आबन्ध से x -अक्ष मरेखित है, तो अखंडनीय विरूपण के अनुसार यह आर्बिटल जिसमें रूपांतरित होता है, वह है (Table 1 का उपयोग कीजिए)

1. a_u 2. b_{1u}
3. b_{2u} 4. b_{3u}

116. The π_u -orbital of ethylene, when placed in the xy -plane with the $C = C$ bond aligned to the x -axis, transforms according to the irreducible representation (Use Table 1)

1. a_{1y} 2. b_{1y}
3. b_{2y} 4. b_{3y}

117. एथिलीन में $b_{1g} \rightarrow b_{2g}$ संक्रमण

1. अनुमत नहीं है
 2. x -ध्रुवित प्रकाश द्वारा अनुमत है
 3. y -ध्रुवित प्रकाश द्वारा अनुमत है
 4. z -ध्रुवित प्रकाश द्वारा अनुमत है
- (Table 1 का उपयोग कीजिए)

117. The $b_{1g} \rightarrow b_{2g}$ transition in ethylene is

1. not allowed.
 2. allowed by x -polarized light.
 3. allowed by y -polarized light.
 4. allowed by z -polarized light.
- (use Table 1)

118. एक धातु का घन सुसंकुलित संरचना में किस्टलीकरण होता है। मिलर तलों (200) तथा (111) से द्वैगपरावर्तनों के लिए $\sin^2\theta$ के मान हैं क्रमशः 0.18 तथा 0.14। एकक सेल की लम्बाई है

1. $\lambda/2$ 2. $\lambda/0.2$
3. $\lambda/0.4$ 4. 0.4λ

118. A metal crystallizes with cubic close-packed structure. The $\sin^2\theta$ values of Bragg reflections of Miller planes (200) and (111) are 0.18 and 0.14, respectively. The unit cell length is

1. $\lambda/2$ 2. $\lambda/0.2$
3. $\lambda/0.4$ 4. 0.4λ

119. निम्नलिखित एक आपेक्षिक अभिक्रिया के लिए प्रभावी प्रथम कोटि का दर नियतांक k_{eff} है

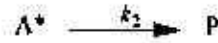
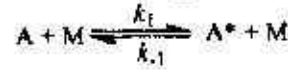


$1/k_{\text{eff}}$ तथा $1/[M]$ के मध्य आरेख के ढाल तथा अंतःखंड हैं, क्रमशः 4×10^6 तथा 8×10^{11} ,

k_{-1}/k_2 का मान है :

1. 2×10^5 2. 0.5×10^5
3. 32×10^5 4. 2×10^{-5}

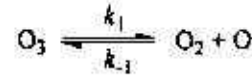
119. k_{eff} is the effective first-order rate constant of the following unimolecular reaction



The slope and intercept of the plot of $1/k_{\text{eff}}$ vs. $1/[M]$ are 4×10^6 and 8×10^{11} , respectively. The value of k_{-1}/k_2 is:

1. 2×10^5 2. 0.5×10^5
3. 32×10^5 4. 2×10^{-5}

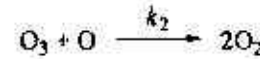
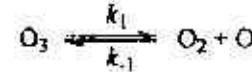
120. ओज़ोन के वियोजन की क्रियाविधि है



यदि $k_{-1}[O_2] \ll k_2[O]$ हो, तब ओज़ोन के सापेक्ष अभिक्रिया की कोटि है

1. शून्य 2. एक
3. दो 4. जटिल

120. The decomposition mechanism of ozone is



If $k_{-1}[O_2] \ll k_2[O]$, then the order of the reaction with respect to ozone is

1. zero
2. one
3. two
4. complex

FOR ROUGH WORK

1-A-H

FOR ROUGH WORK

1-A-H
